# 安來製電磁軟鉄の磁性に就て

小柴定雄\* 山中輝夫\* 古川 巖\* 西沼輝美\*

## The Magnetism of Yasugi Magnetic Power Iron

By Sadao Koshiba, Teruo Yamanaka, Iwao Furukawa and Terumi Nishinuma Yasugi Works, Hitachi, Lfd.

#### Abstract

Magnetic power iron has been manufactured at many an iron foundry, but there has been seldom produced excellent product.

At Yasugi Works, using the materials of iron sand origin, research and trial manufacture of this kind of iron has been carried on aiming at the production of superior grade of product.

In the course of research it was found that the cold rolling had a decisive effect on the grade of magnetism of the magnetic power iron manufactured. Further, the size of crystal after re-crystallization obviously differs according to the rate of cold rolling. And the bigger and the more coarse is the size of crystal, the stronger magnetism can be afforded.

It may be added however that each material has its own size of crystal for the same strength of magnetism.

Also, given the same ratio of cold rolling, the plates of the same material give the different grades of magnetism if the final thickness is different.

Then, in order to obtain a good surface finishment with lower rate of cold rolling, several methods have been tried and the one considered most effective is to apply the cold rolling process at a temperature no lower than that of recrystallization. The annealing temperature after cold rolling should be  $800 \sim 850^{\circ}$ C, with holding time of  $3.5 \sim 4$  hours. For the cooling after annealing, the air cooling will fit the purpose.

Yasugi magnetic power iron of iron sand origin has almost uniform distribution of magnetism regardless the difference of melting furnace and of the part of the mother ingot from which the magnetic power iron is to be manufactured. It shows the  $B_1$  of 10,000 gauss and the Hc of 0.7 Oersted, and both are comparatively free from aging with only 15% or less of deterioration

### [1] 緒 言

通信機に広く使用されている電磁軟鉄は数社に於て製造されているが、磁気特性が不均一で中には著るしく悪

\* 日立製作所安来工場

いものがあり、かつ時効によつて磁性が劣下する等欠点が少くない。安来工場は使用者の要望があつたので、砂鉄系材料を用いて電磁軟鉄の試作研究を行つた。その結果一応目的を達し量産を行つて好評を得ているので、他社製品と比較しながら研究の結果を報告する事にした。

#### 試料及び実験方法

砂鉄系材料である鳥上白銑を 6 ton 弧光式電気炉にて 酸化沸騰精錬により軟鋼を造り後高周波電気炉にて特殊 な方法により鋼塊を熔製した。上記鋼塊は次の如き工程 にて鈑に仕上げ実験試料を作製した。

鋼塊→鍛造→酸洗→疵取→熱間圧延→酸洗→冷間圧延 その化学成分は第1表に示した。

磁気の測定は外径 76 mm 内径 52 mm に切削した環 状試料を用い弾動検流法によった。

焼鈍は全て箱焼鈍を行つた。

#### 実験結果及びその考察 III

#### (1) 冷間圧延率及び仕上厚さの影響

電磁軟鉄は表面仕上をなす為必ず冷間圧延(以下冷圧 と略す。)を行わねばならず、かつ相当高率にする必要が ある。冷間加工率が純鉄の再結晶後の結晶粒の大きさに 著るしい影響を及ぼす事は周知の事であるが、磁性に就 ての実験結果は極めて少い。よつて A 及び B 試料にて 冷圧率の影響を求めた。その結果は第1図に示した。但 し焼鈍温度は 850°C, 保持時間は 3.5 時間である。明ら かに冷圧率の高いもの程磁性が悪く、B<sub>1</sub>1エルステッド に於ける磁東密度) m (最大導磁率) 及び Hc (抗磁力) が略直線的に劣下する。この結果より冷圧率は低いもの 程よいと思考されるが、表面仕上を良好にする為には寧 ろ冷圧率は高いがよく30%以上にせねばならない。よ つて次の如く冷圧の工程を二段に分け表面仕上を良好に しかつ冷圧率を低く出来るようにした。

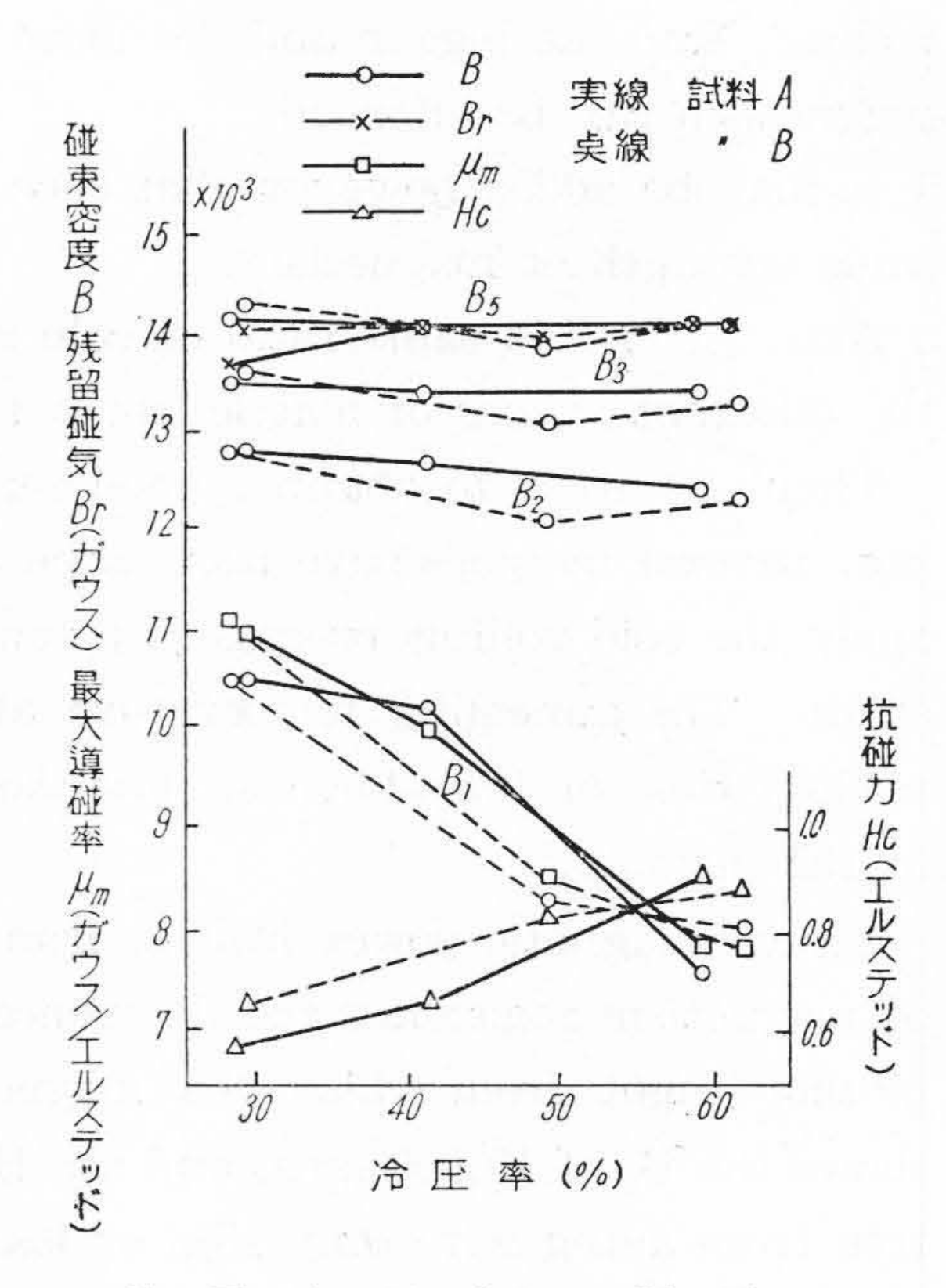
熱間圧延───中間焼鈍───(仕上)焼鈍

最終仕上厚さをC試料にて約2mm D試料にて約1.5, 2.0, 2.5, 3.0 mm と一定にした際の仕上冷圧延の影響 を第2図及び第3図に示した。但中間焼鈍温度は650°C である。参考の為結晶粒度番号をも併記したが顕微鏡写 真を示すと第4図~第10図である。仕上冷圧率の影響 が明らかに認められて試料にては B<sub>1</sub> が 9,240~1,600 ガ ウスHcが 0.73~1.37エルステッド、D試料にては B<sub>1</sub> が 10,890~3,650 ガウス Hc が 0.57~1.17 エルステッ ドと著るしい差異が生ずる。結晶粒は同一素材の場合は 磁性の良好なもの程粗大であるが、素材が異る場合には 他の試料に就て調査した結果、結晶粒の大小によって直 ちに磁性の良否を推定する事は困難である。

次にD試料の仕上厚さの影響を第11図に示した。冷圧 率が約15%に於ては余り厚さの影響がないが冷圧率が高 くなると厚さの影響が顕著に現れ、厚いもの程磁性が良 好である。冷圧を行わず熱間圧延のままの試料を旋盤で

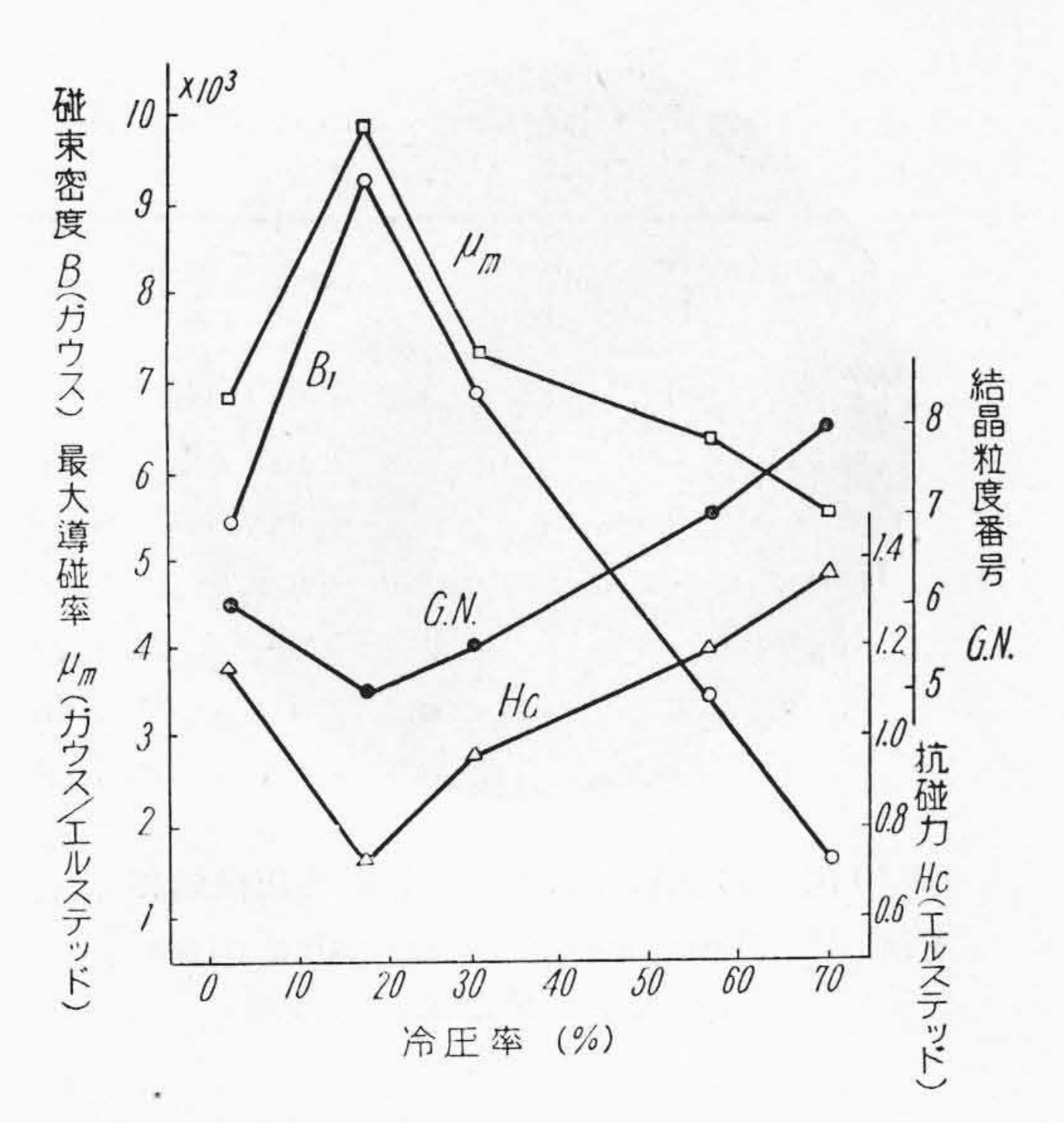
第1表 試料の化学成分 Table 1. Chemical Composition of Test Material

				IVIA CCI I			
化学成分	C .	Si	Mn	P	S	Ni	Cr
A	0.027	0.08	0.09	0.012	0.020	Nil	0.10
В	0.017	0.07	0.09	0.012	0.020	·Tr	0.10
C	0.019	0.09	0.02	0.017	0.018	Nil	0.085
D	0.020	0.14	0.01	0.009	0.020	Nil	0.059
E	0.01	0.18	0.03	0.014	0.010	0.27	0.19
F	0.02	0.08	0.04	0.012	0.018	0.07	0.56
G	0.02	0.03	0.022	0.008	0.020	0.03	0.09
H	0.03	0.16	0.026	0.011	0.058	0.01	0.13
. I	0.03	0.06	0.001	0.020	0.026	Nil	0.09
J	0.02	0.15	0.02	0.011	0.021	Nil	0.07
NK社A	0.015	0.06	0.05	0.007		0.07	0.04
NK社B	0.03	0.08	0.001	0.014	4.4	0.05	0.02
NK社C	0.015	0.04	0.06	0.007	sueu)	0.07	0.03
T 社	0.049	V 14	0.04	0.008		TE (F)	0.03
F 社 A	0.06	194	0.29	0.011			0.09
F 社 B	0.05	0.01	0.12	0.007		0.07	0.07
A 社	0.02	0.19	0.021	0.010			0.04
N S 社	0.02	0.12	0.011	0.005			0.02

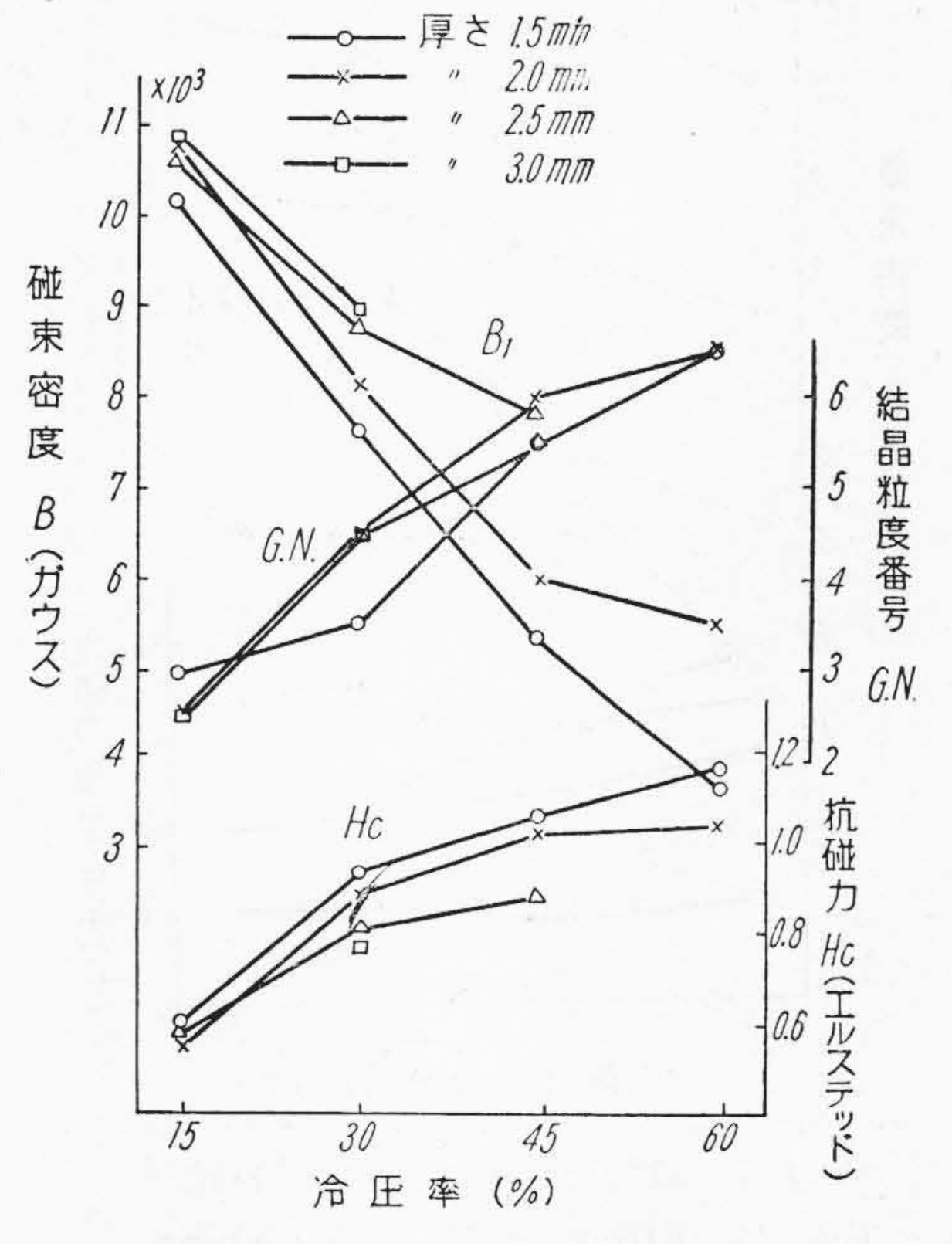


第1図 冷 圧 率 0 Fig. 1. Effect of Cold Rolling Ratio

削つて厚さを変えたものの磁性は第12図の如くで、寧ろ 薄いものが良い傾向を示す。これは試料の厚さによつて 焼鈍効果が異る故と思考される。従つて第11図の結果は 計算上は同一冷圧率であつても試料の厚さにより応力の



第2図 冷圧率の影響(C試料) Fig. 2. Effect of Cold Rolling Ratio (Test Piece C)

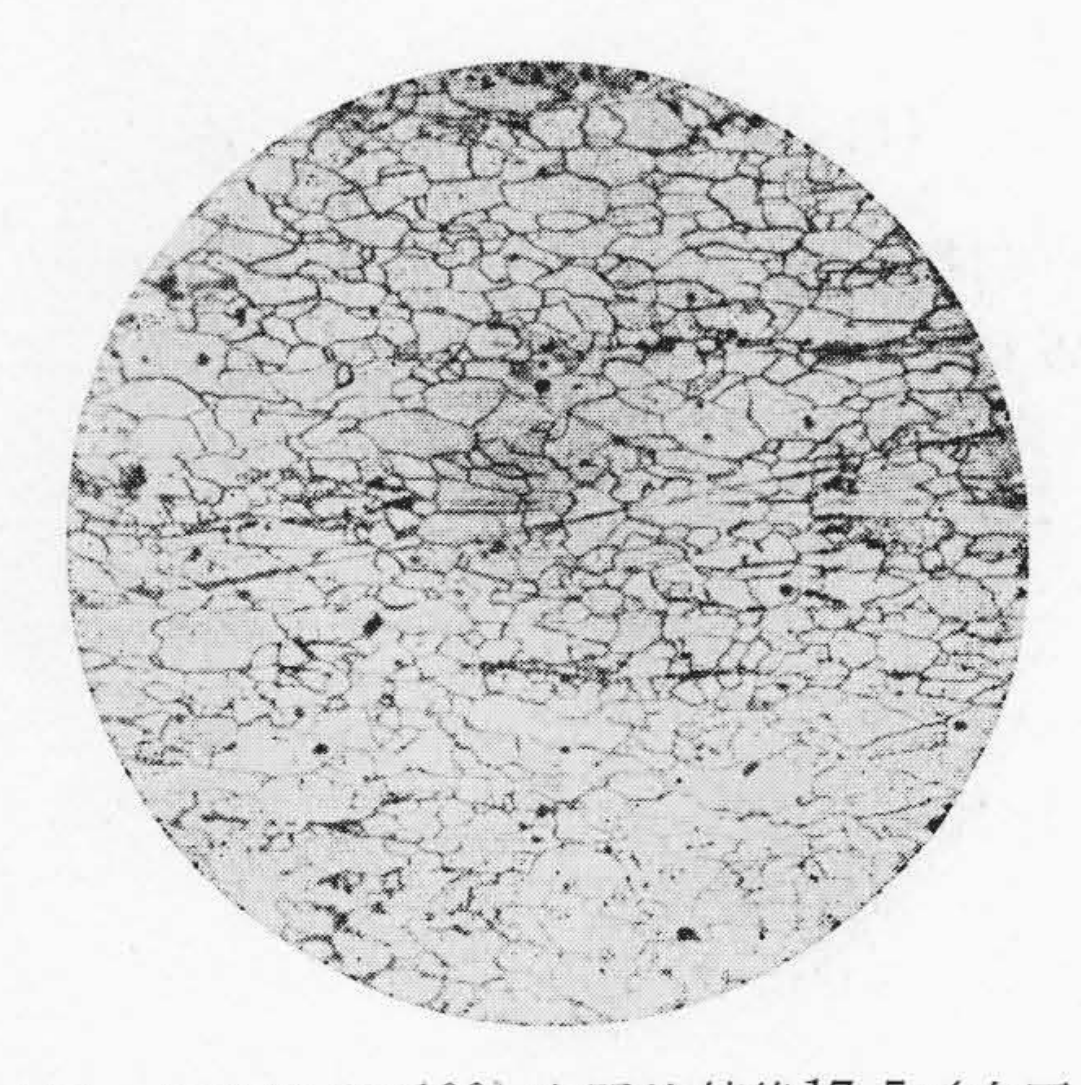


第3図 冷圧率の影響(D試料)
Fig. 3. Effect of Cold Rolling Ratio
(Test Piece D)

分布等が異り、実際上の冷圧効果が異るのではないかと 考えられる。

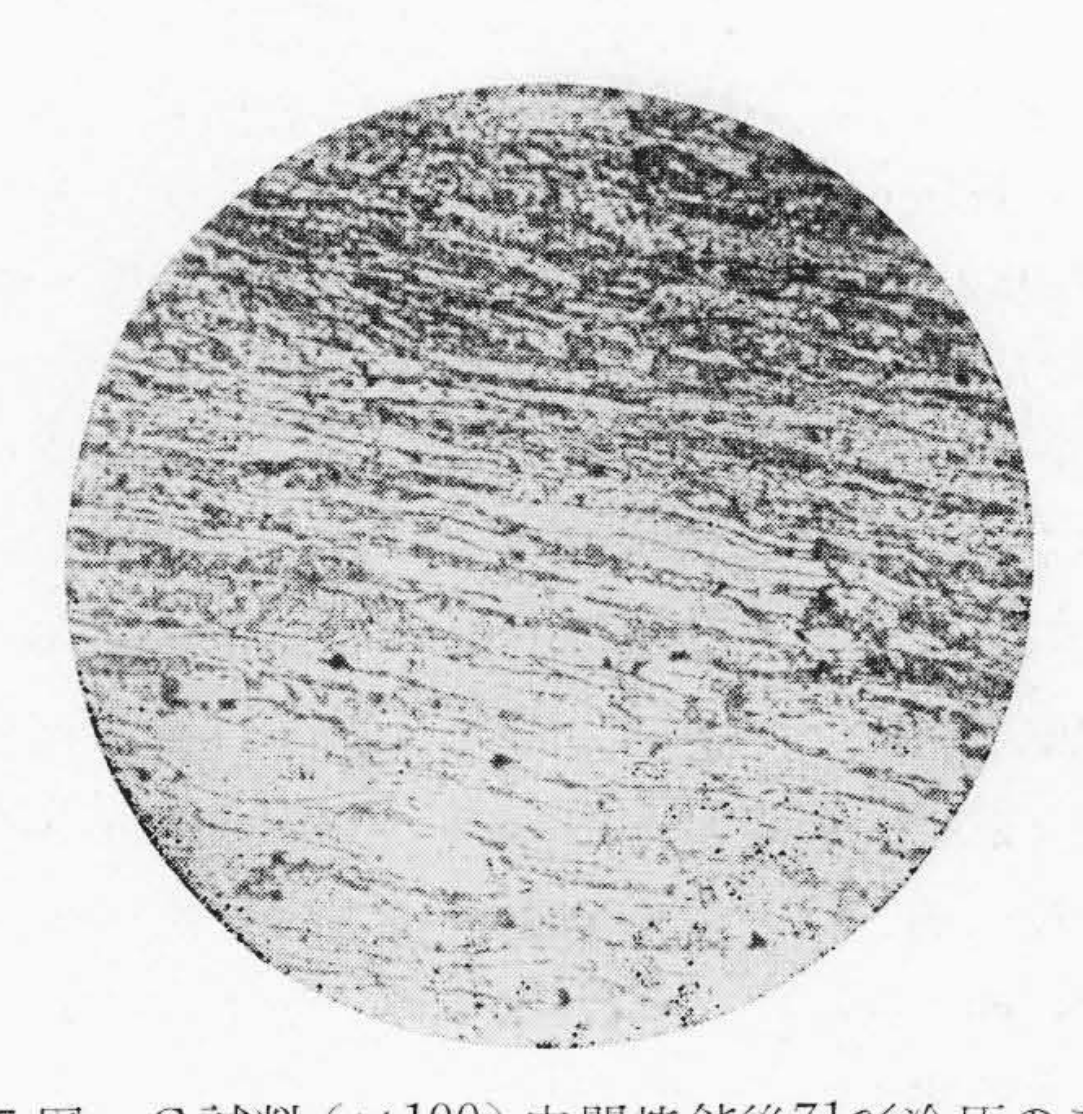
#### (2) 中間燒鈍温度の影響

中間焼鈍は中間冷圧による有害な加工歪を除去するのが目的で、A<sub>3</sub>変態点以上の温度にて行うと完全であるが、量産上は可及的に低い事が望ましい。E試料にて仕

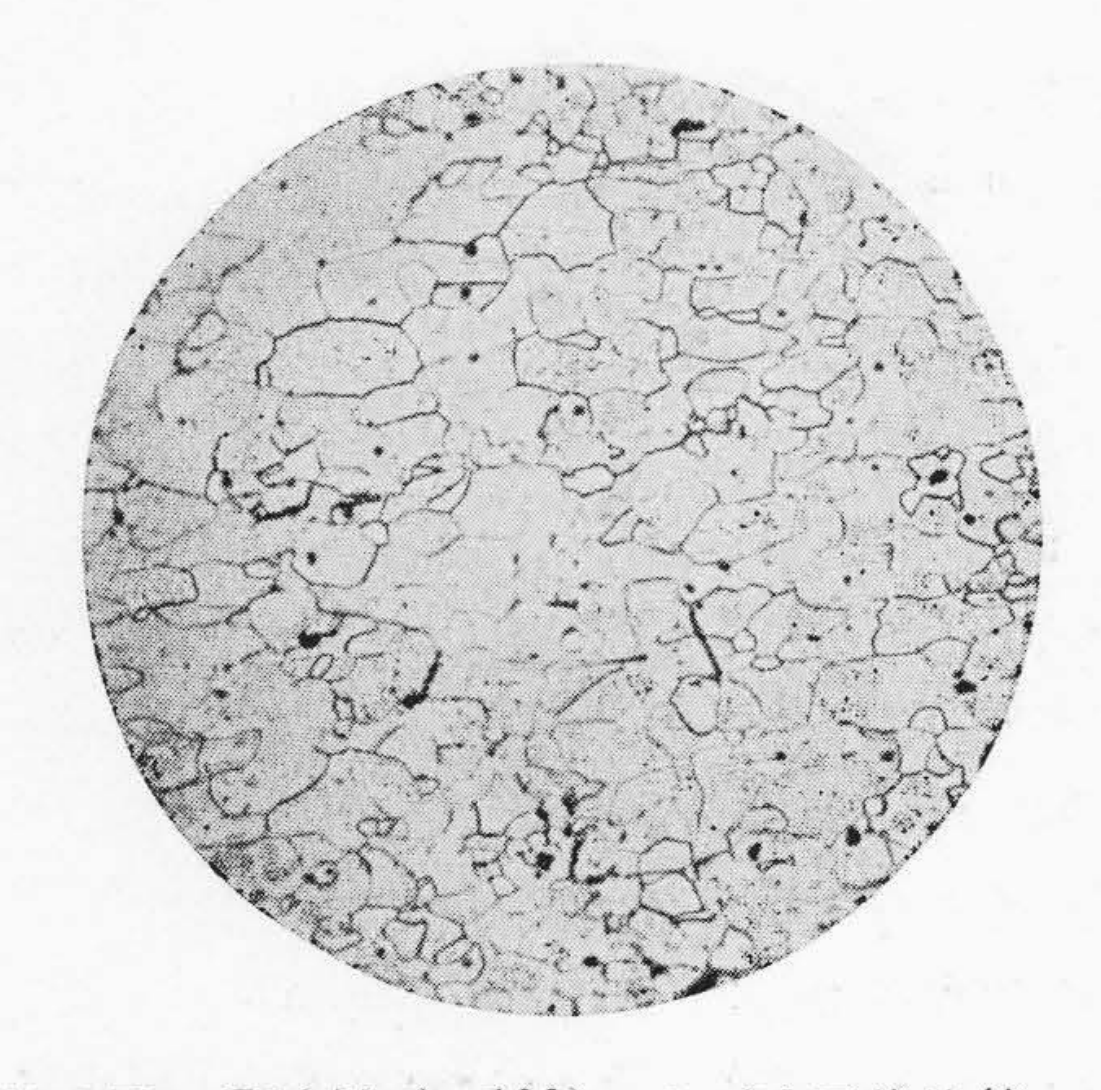


第4図 C試料(×100)中間焼鈍後17.5%冷圧のま」

Fig. 4. Test Piece C as Subjected to 17.5% Cold Rolling after Intermediate Annealing (×100)



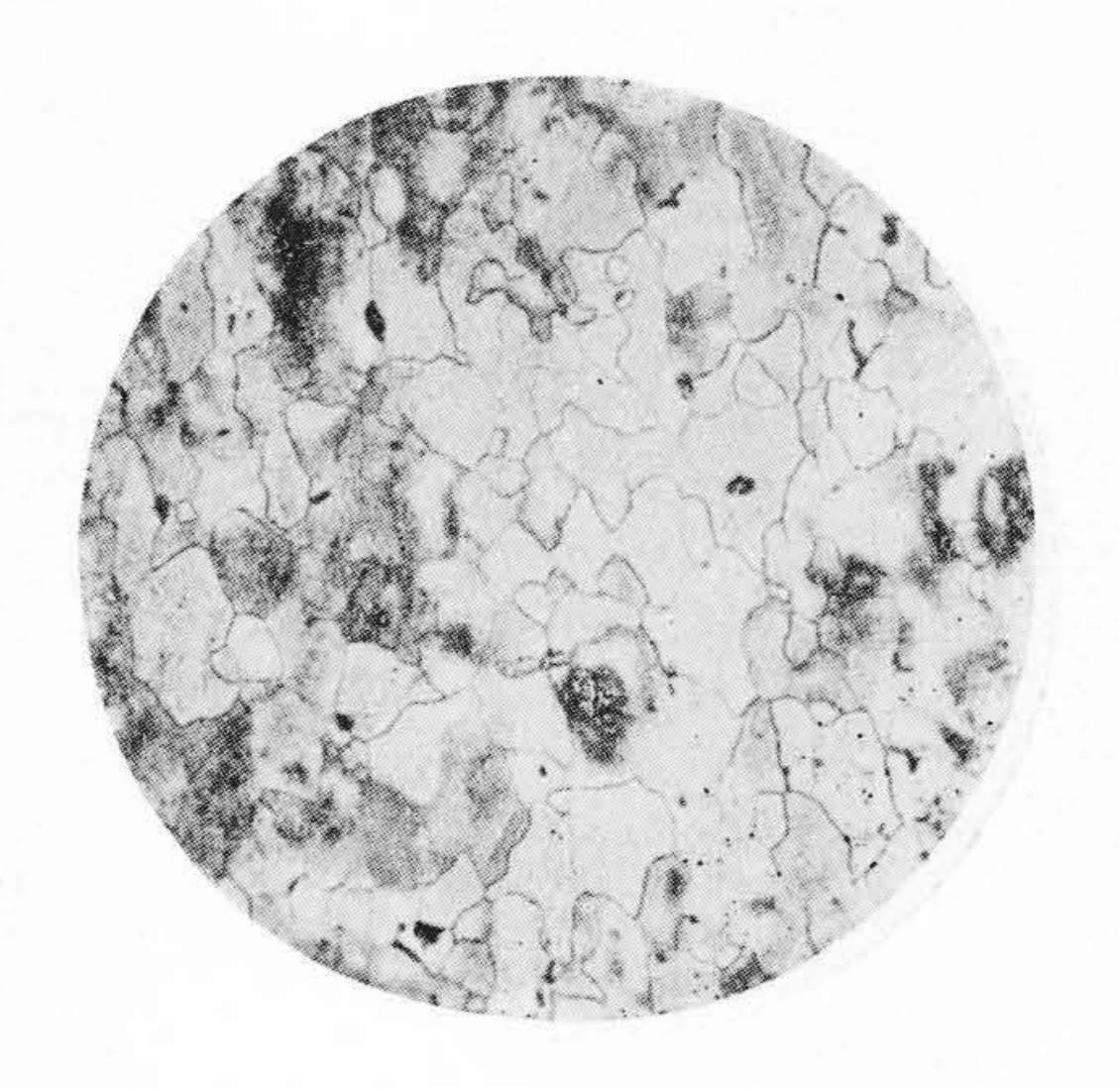
第5図 C試料(×100)中間焼鈍後71%冷圧のまし Fig. 5. Test Piece C as Subjected to 71%. Cold Rolling after Intermediate Annealing (×100)



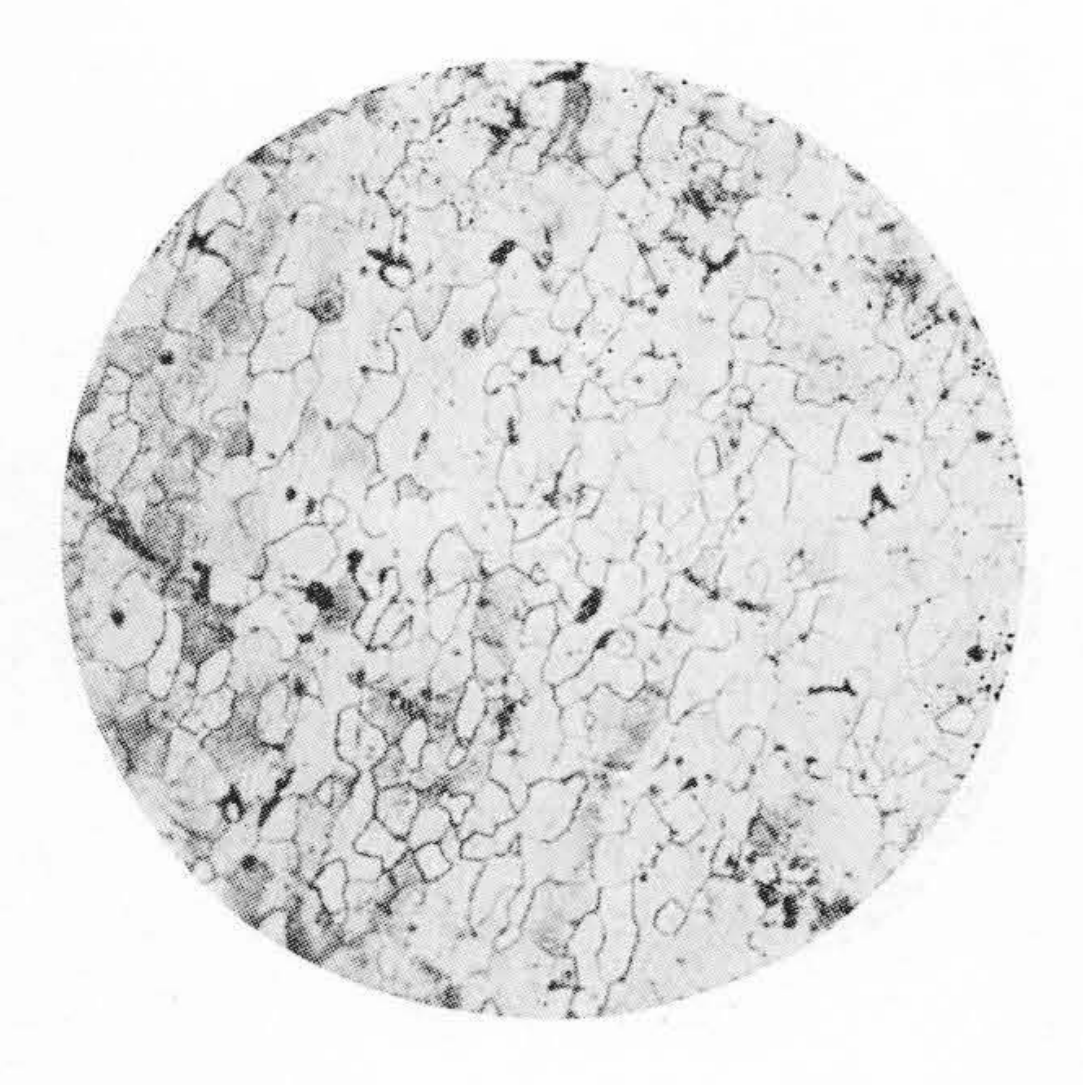
第6図 C試料(×100) 2%冷圧後焼鈍 Fig. 6. Test Piece C Annealed after 2% Cold Rolling (×100)



第7図 C試料 (×100) 17.5% 冷圧後焼鈍 Fig. 7. Test Piece C Annealed after 17.5% Cold Rolling (×100)



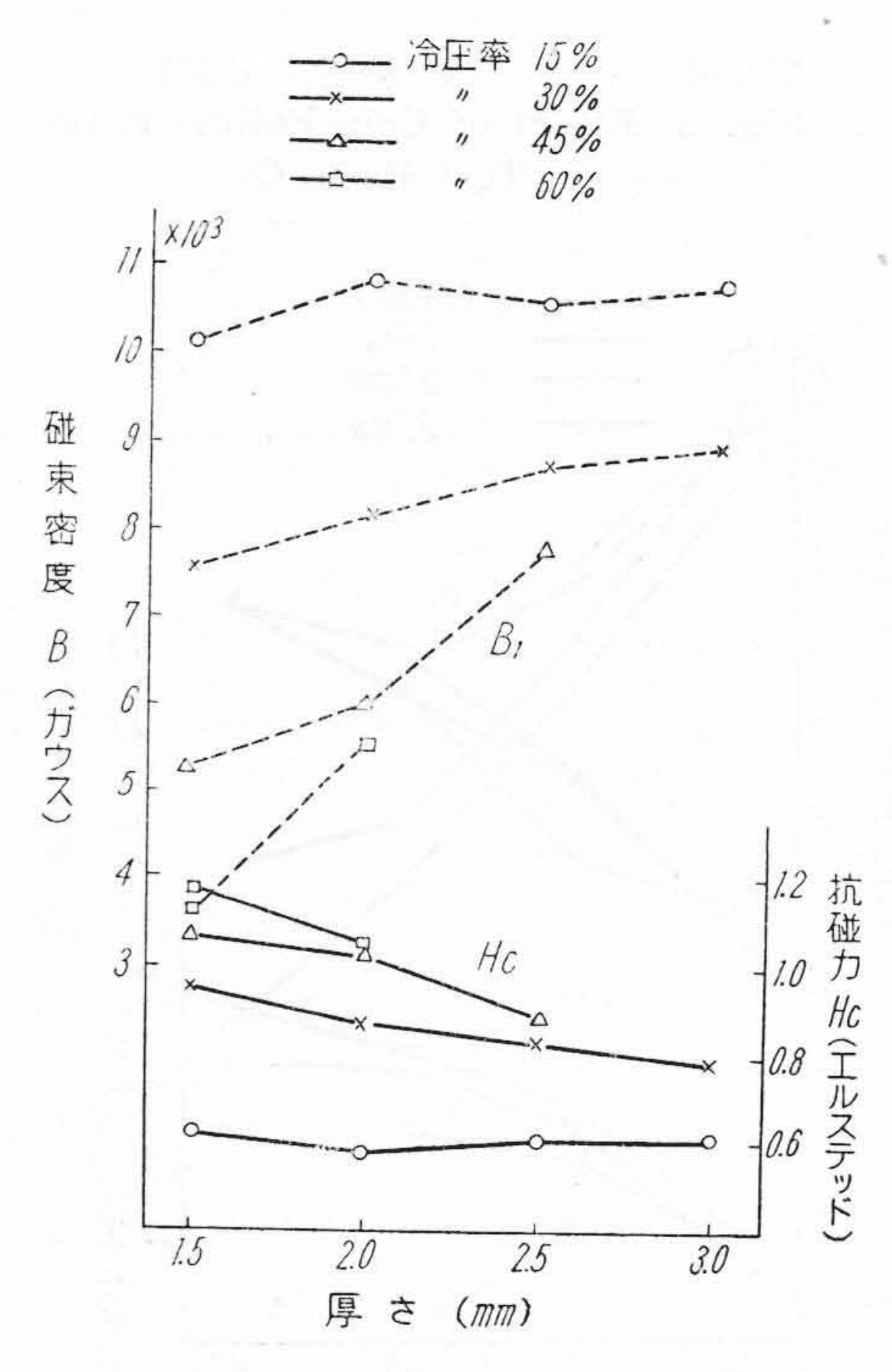
第8図 C試料 (×100) 30.5% 冷圧後焼鈍 Fig. 8. Test Piece C Annealed after 30.5% Cold Rolling (×100)



第9図 C試料 (×100) 57% 冷圧後焼鈍 Fig. 9. Test Piece C Annealed after 57% Cold Rolling (×100)



第10図 C試料 (×100) 71% 冷圧後焼鈍 Fig. 10. Test Piece C Annealed after 71% Cold Rolling (×100)



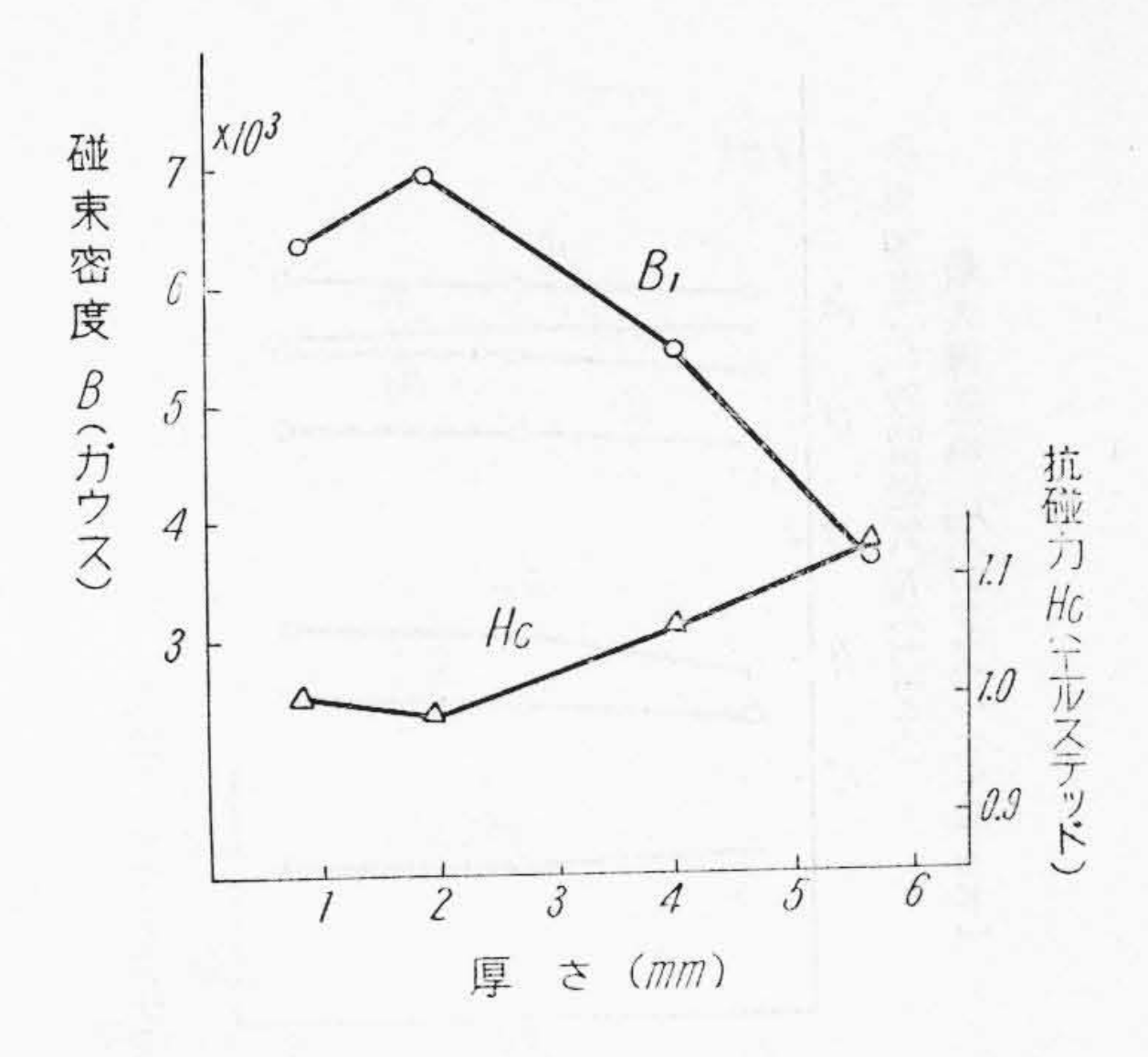
第11図 最終仕上厚さの影響 (D試料)

Fig. 11. Effect of Final Finishing Thickness (Test Piece D)

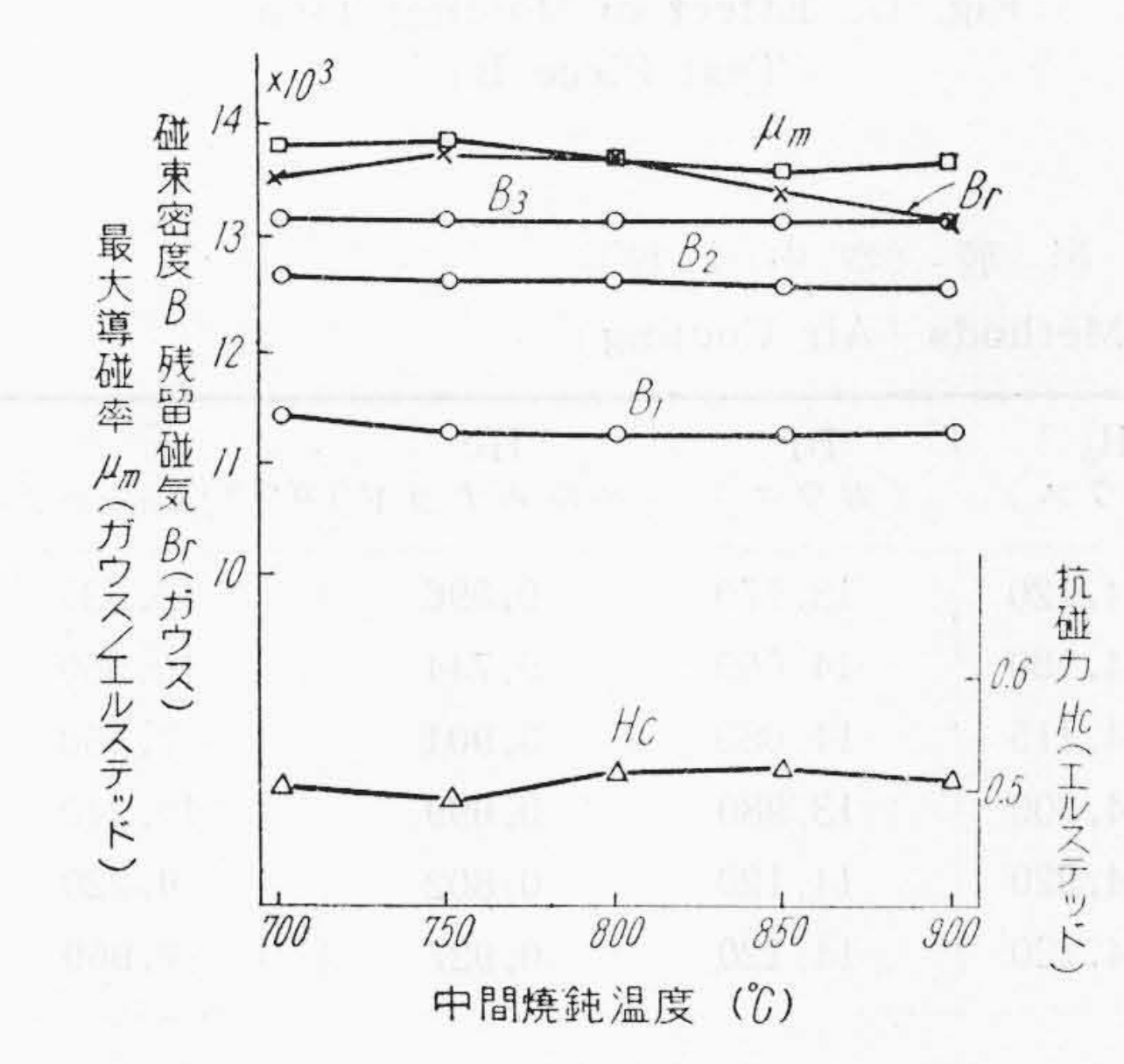
上冷圧率を約10%にした際の中間焼鈍温度の影響を第13 図に示した。但中間焼鈍の保持時間は4時間とし、箱焼 鈍を行つた。中間焼鈍温度の影響は殆どない。従つて中 間焼鈍は実用上中間冷圧の再結晶温度以上であればよい ものと思考され A3 変態以上にする事は不必要である。

#### (3) 焼鈍方法の影響

A及びB試料に就て冷圧率約30%の場合の焼鈍温度の



第12図 試料厚さの影響(D試料) Fig. 13. Effect of Thickness of Test Piece (Test Piece E)



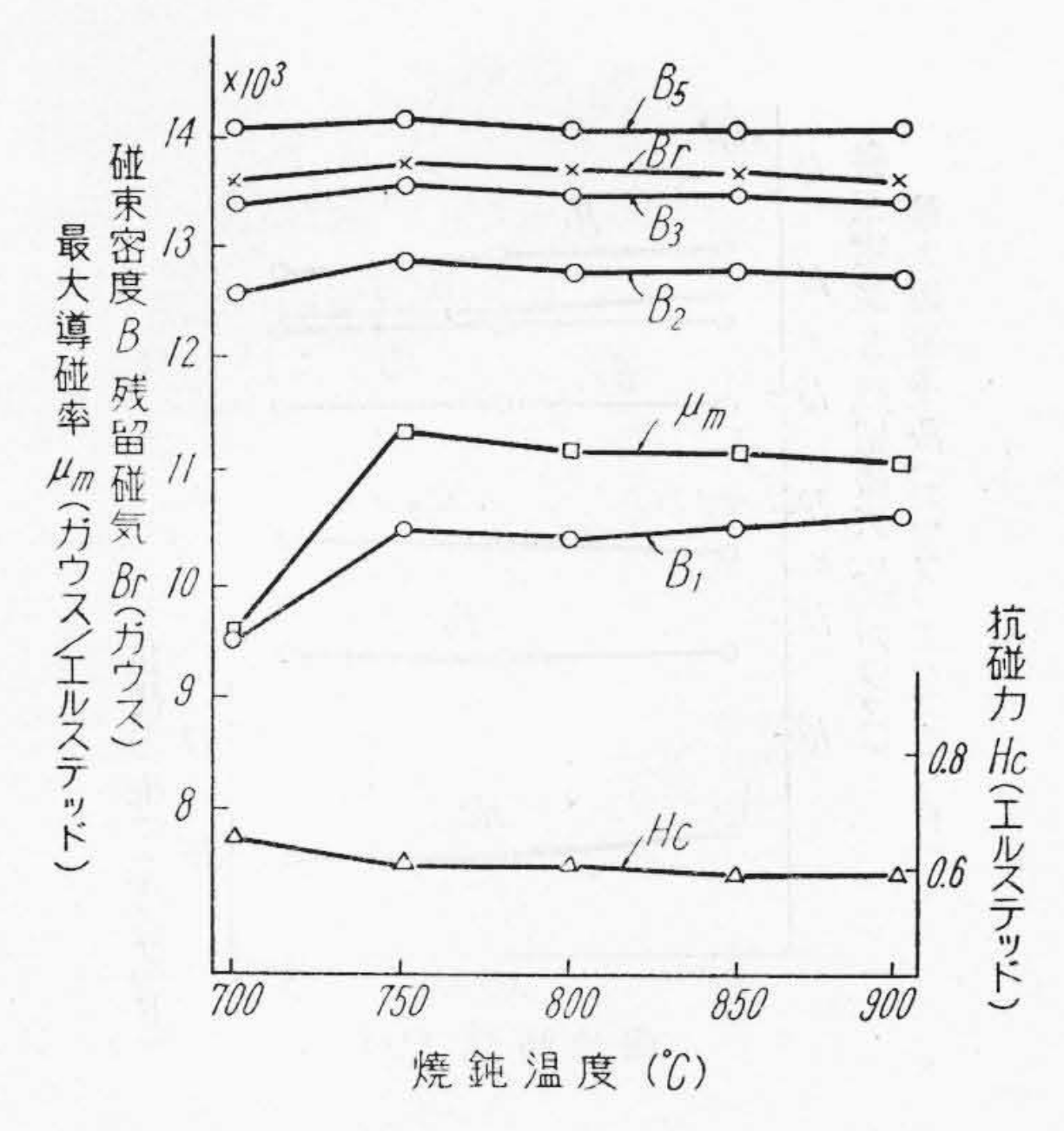
第13図 中間焼鈍温度の影響(D試料)

Fig. 13. Effect of Intermediate Annealing Temperature (Test Piece E)

影響を**第 14 図**及び**第 15 図**に示した。但各温度に於ける保持時間は 3.5 時間である。焼鈍温度が 700°C では稍低い。A 試料は 750~900°C にて、B 試料は 800~900°C にて大差が無いが、焼鈍温度が高くなると酸化が多くなる故 800~850°C が適当なものと思考する。冷圧率の異る他の試料の結果も略同様である。

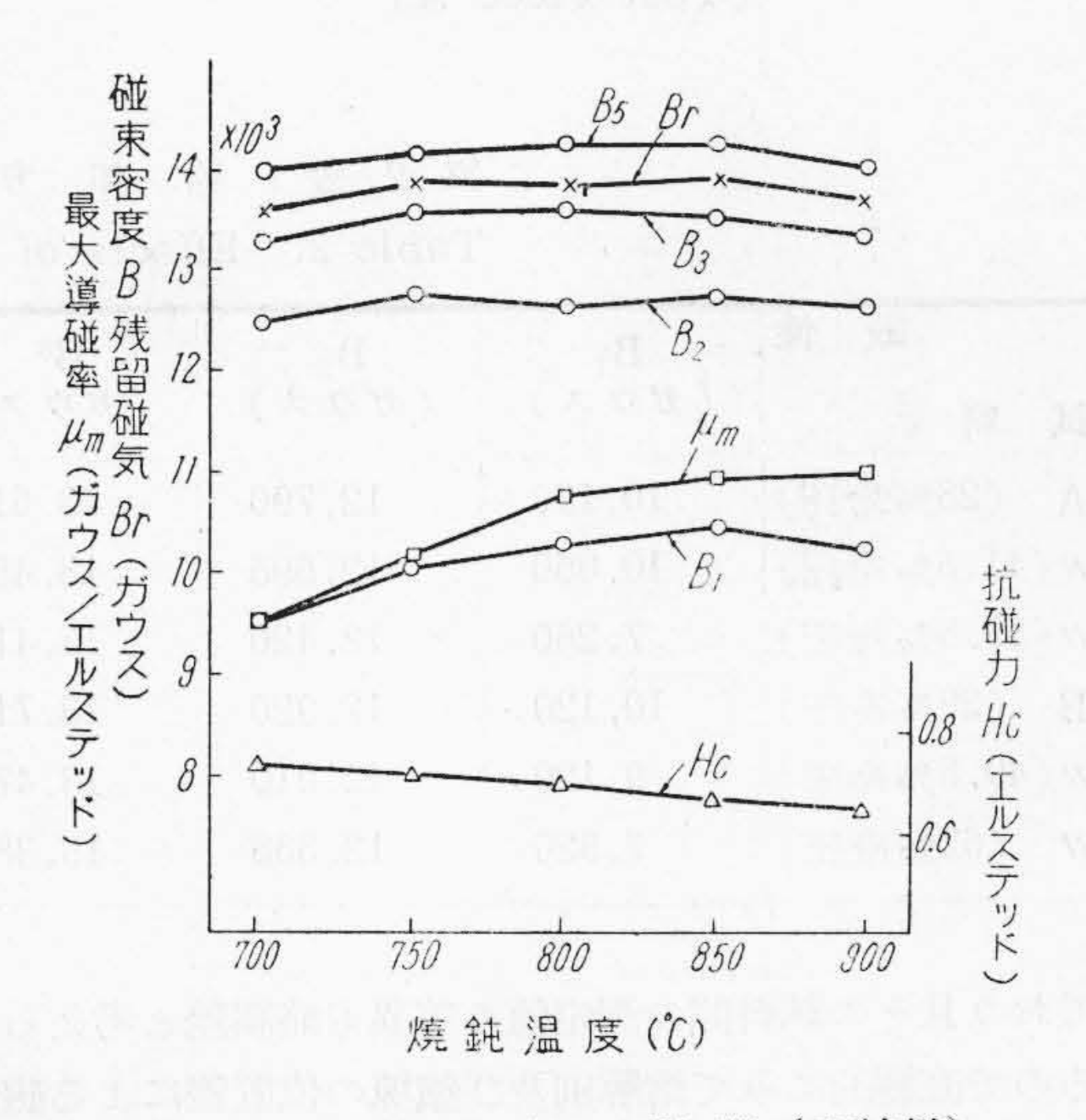
次に同試料にて焼鈍温度 800°C の場合の保持時間の影響を求めた。その結果は第 16 図及び第 17 図に示した。保持時間が 2 時間では稍短かく、3.5~5 時間にて略同成績を示す故 3.5~4 時間の保持が適当なものと思考する。

焼鈍後の冷却は普通炉中冷却を行つているが、箱のまま炉中より取出し空中冷却をなし冷却方法の影響を求めた。その結果は第2表に示した。但約50℃に達するに



第14図 焼 鈍 温 度 の 影 響 (A試料)

Fig. 14. Effect of Annealing
Temperatures (Test Piece A)



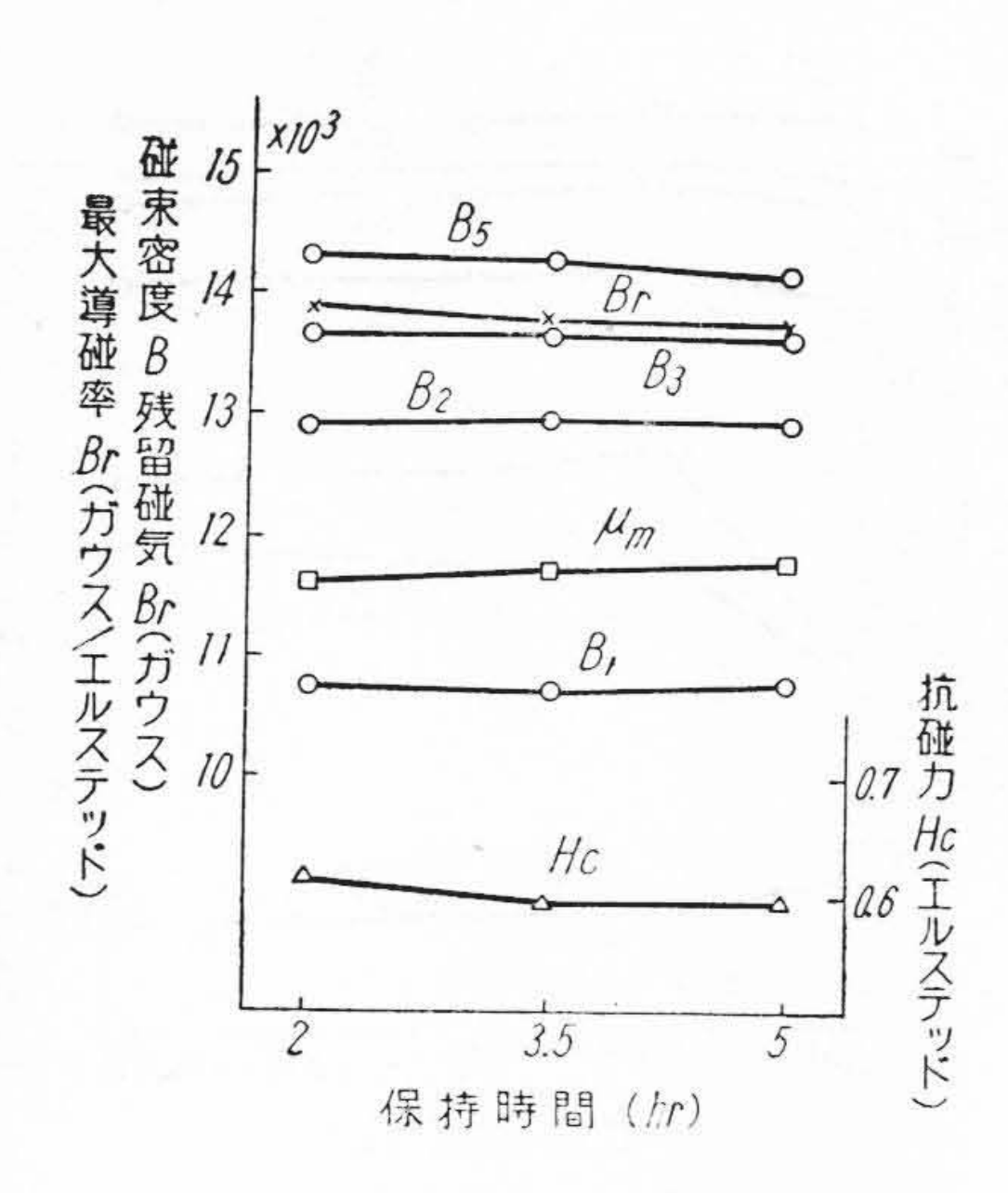
第15図 焼 鈍 温 度 の 影 響 (B試料)

Fig. 15. Effect of Annealing
Temperatures (Test Piece B)

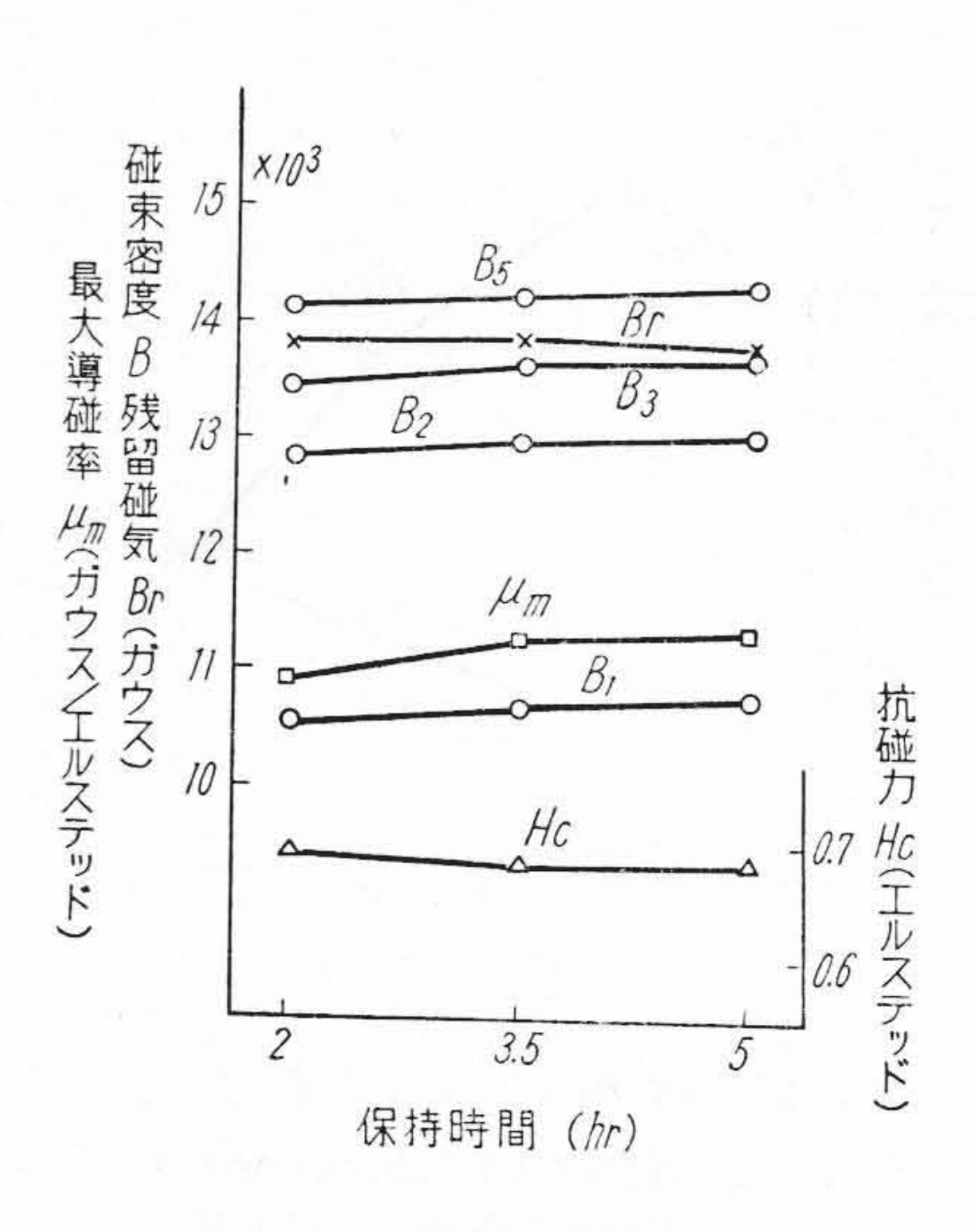
炉中冷却は約15時間、空中冷却は約3時間を要した。 空中冷却の場合、炉中冷却に比較して僅かに低い傾向が 認められるが大差ない。冷却方法は後述の如く時効にも 殆ど影響が無い故量産に於て3~4日間も要する程の炉 中冷却は必要ないものと思考する。

#### (4) 熔解別及び鋼塊の位置差の影響

量産品F~T試料の任意に選んだ鋼塊の頭部底部の各々にて製造した 2.8mm 厚さの鈑より各4箇の試料を採取し磁気測定を行つた。その結果は 第3表の如くである。 荷電磁軟鋼の臨時日本標準規格を第4表に示した。 各試料の B<sub>1</sub> HC 共に同規格第一種の数値を遙かに超し



第16図 保持時間の影響 (A試料) Fig. 16. Effect of Holding Time (Test Piece A)



第17図 保持時間の影響 (B試料) Fig. 17. Effect of Holding Time (Test Piece B)

第 2 表 冷 却 方 法 の 影 響 (空 中 冷 却) Table 2. Effəcts of Cooling Methods (Air Cooling)

磁 性 試 料	B <sub>1</sub> (ガウス)	$egin{aligned} B_2\ (ec{ extit{f}}ec{ extit{d}}ec{ extit{d}}ertert) \end{aligned}$	B <sup>8</sup> (ガウス)	$B_5$ (ガウス)	Br (ガウス)	Hc (エルステッド)	μ m ガウス/エルステツト
A (28%冷圧)	10, 190	12,790	13,610	14, 120	13,770	0,596	10,530
#(41.5%冷圧)	10,050	12,595	13,450	14,180	14,065	0,744	10,060
#(59.5%冷压)	7,260	12,420	13,415	14,115	14,080	0,904	7,550
B (29%冷圧)	10, 120	12,920	13,710	14,300	13,980	0,699	10,240
#(49.5%冷圧)	9,120	12,010	13,470	14,220	14, 120	0,802	9,220
11 (62%冷圧)	7,520	12,355	13,380	14,120	14, 120	0,927	7,960

ており且その試料間の測定値の差異も略誤差と考えられるので直観的にみて熔解別及び鋼塊の位置差による磁性の差異は殆んど無いものと思考される。

#### (5) 他社製品の磁性

安来製品と同一条件にて焼鈍後測定した他社製品の磁性を第5表に示した。NK社 Bは  $B_1$  が約 11,500 ガウス Hc が 0.6 エルステッドで極めて優秀であるが、NK 社 A 及び NK 社 C は第二種の性能に過ぎない。NS 社及び T 社製は第二種の性能である。E社 B は稍良く第一種の性能であるが、E 社 A は極めて悪く第三種にも合格しない。安来製品は適当な加工法によれば第3表の如く何れも  $B_1$  は約 10,000 ガウス Hc は約 0.7 エルステッドである。これ等各社製の磁性の差異の一因は冷圧法の不適もあるものと思考するが、バラッキの多い傾向があり後述の時効の多い事等より原材料の不適当等が考えられる。尙化学成分と磁性の関係は余り明確でない。

#### (6) 時 效

電磁軟鉄の磁性が使用中に劣下する事は最も有害で最近問題になつている。よつて他社製品と比較しながら時効による磁性の劣下状況を調べた。先ず焼鈍後室温(15~ $25^{\circ}$ C)に約7,000時間(292日)及び4,500時間(187日)放置したもの、磁性の変化を第6表に示した。但 $B_1$ 及び $B_1$ 

[(焼鈍のままの値~時効後の値)/焼鈍の

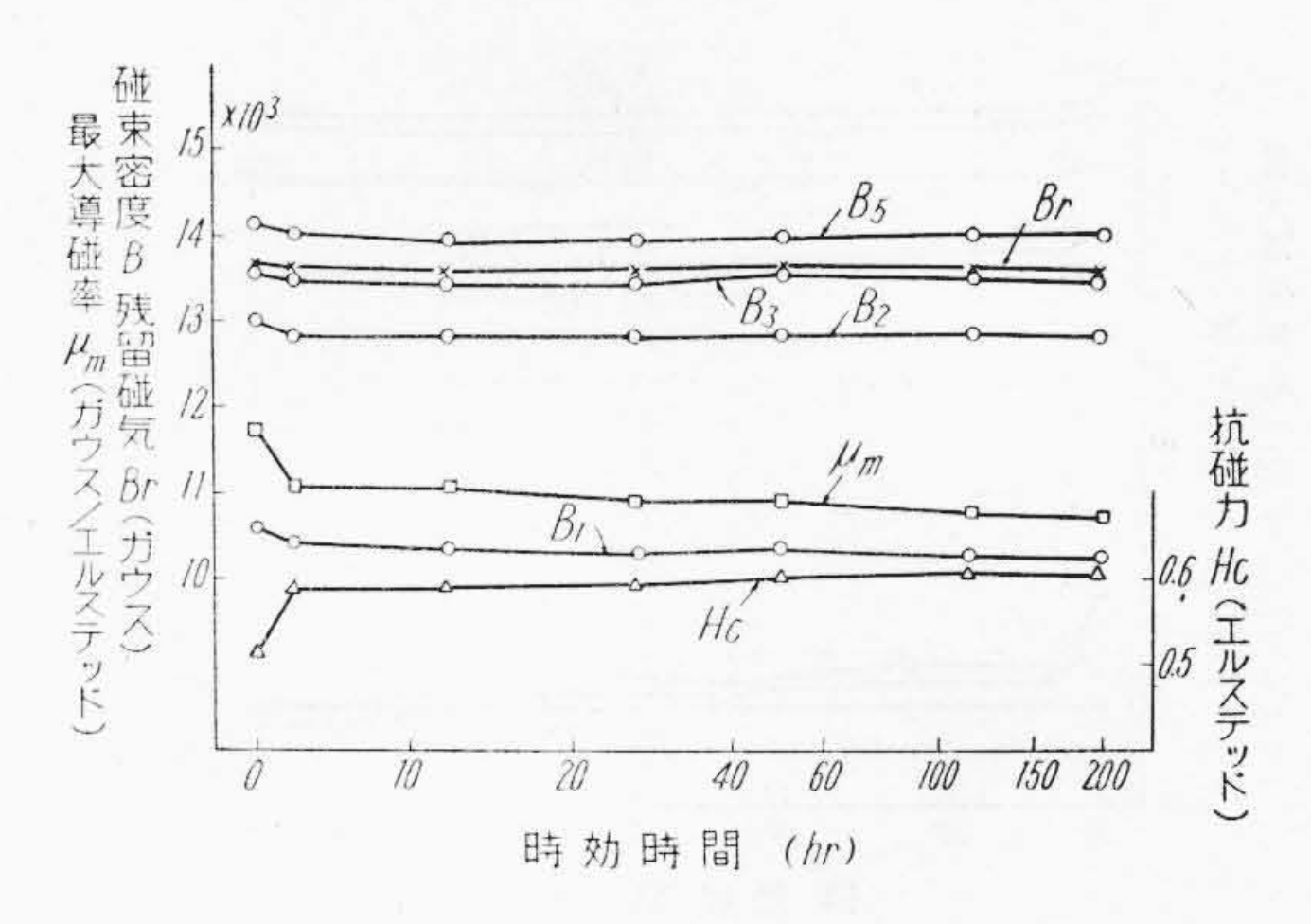
ままの値}×100

である。安来製品の $B_1$ の劣下は $0.5 \sim 9.2\%$ で Hc は始 ど劣下を示さない。NK 社 Bは稍劣下が少いが、NK 社 Aは悪い。A 社製が最も悪く、 $B_1$  は 37.2% Hc は 19.1% の劣下を示す。

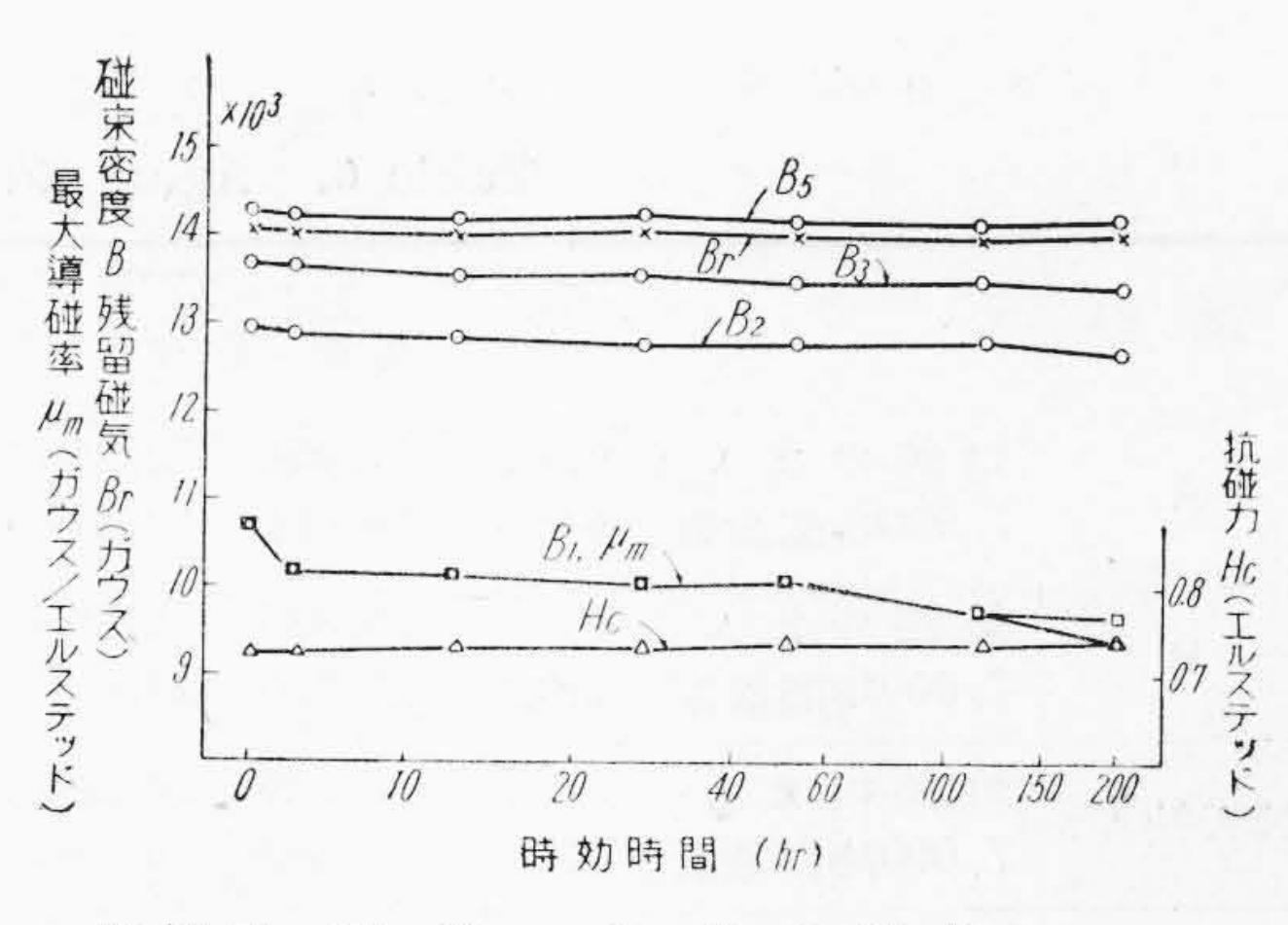
次に電気恒温槽で100°Cに加熱保持した場合の磁性の 変化を第18図~第26図に、200時間加熱保持後の劣下 率を第7表に示した。T社製は焼鈍のままの磁性が悪い

第3表 熔解別及び鋼塊位置差の影響 Table 3. Effect of Difference in Melting Batch and Position of Ingot

鋼塊位置	頭	部	底	部
磁性	$\mathbf{B}_1$	Hc (エルス	$B_1$	Hc (エルス
試料	(ガウス)	テッド)	(ガウス)	テッド)
	10,930	0.48	10,300	0.609
F	10,830	0.475	10,300	0.608
	10,200	0.62	9,360	0.799
	10,890	0.545	9,300	0.787
	10,350	0.682	10,460	0.684
G	10,440	0.683	10,650	0.657
Q .	10,520	0.645	10,200	0.672
	10,110	0.676	10,290	0.681
	10,380	0.703	10,380	0.691
Н	10,450	0.702	10,100	0.726
	10, 100	0.687	9,660	0.721
58 L 38	10,200	0.685	9,950	0.728
	10,600	0.668	10,530	0.702
I	10,520	0.674	10,350	0.691
•	10,040	0.677	10,050	0.712
	10,350	0.655	10,000	0.727
	9,760	0.764	10,860	0.671
J	10,520	0.747	11,390	0.63
J	10,260	0.711	10,540	0.668
Later Later	9,620	0.741	10,300	0.666



第18図 試料 A-1 の時効 Fig. 18. Aging Effect of Test Piece A-1



第19図 試 料 A-2 の時効 Fig. 19. Aging Effect of Test Piece A-2

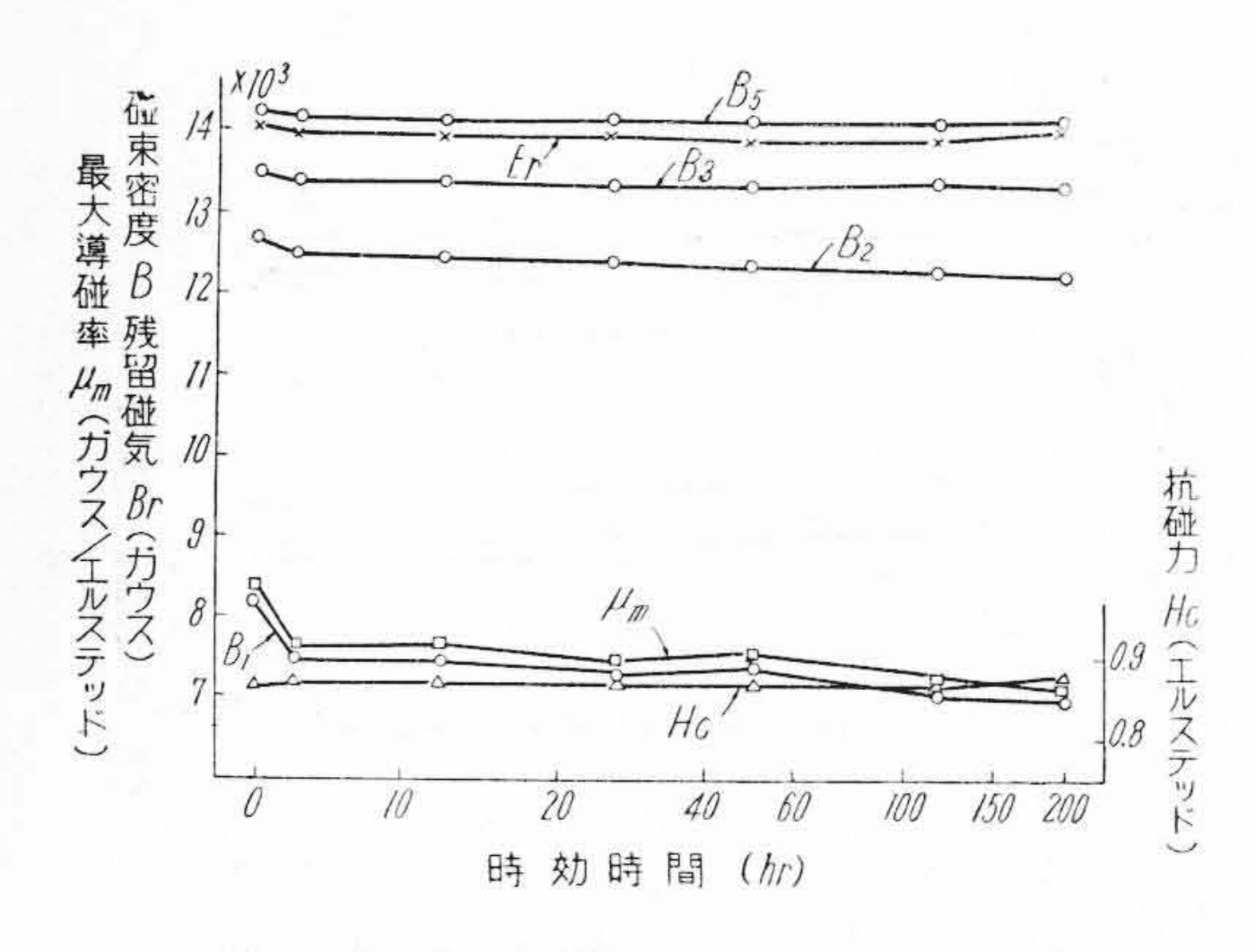
第 4 表 臨 時 日 本 標 準 規 格 Table 4. Japan Standard Ratings (Provisional)

			Hc (B=15,000		磁東	密度	ガウス	
種	別	記号	ガウスに於けるエルステッド)	$\mathrm{B}_1$	$\mathbf{B}_2$	B <sub>3</sub> —	$\mathrm{B}_{5}$	$\mathrm{B}_{25}$
第 -	- 種	M 1	< 1.0	>5,000	>10,000	>12,000	>13,000	>15,000
第二	二 種	M 2	< 1.2	>2,000	> 8,000	>11,000	>13,000	>15,000
第三	三 種	М 3	<1.8	>1,500	> 4,000	> 8,000	>11,000	>15,000

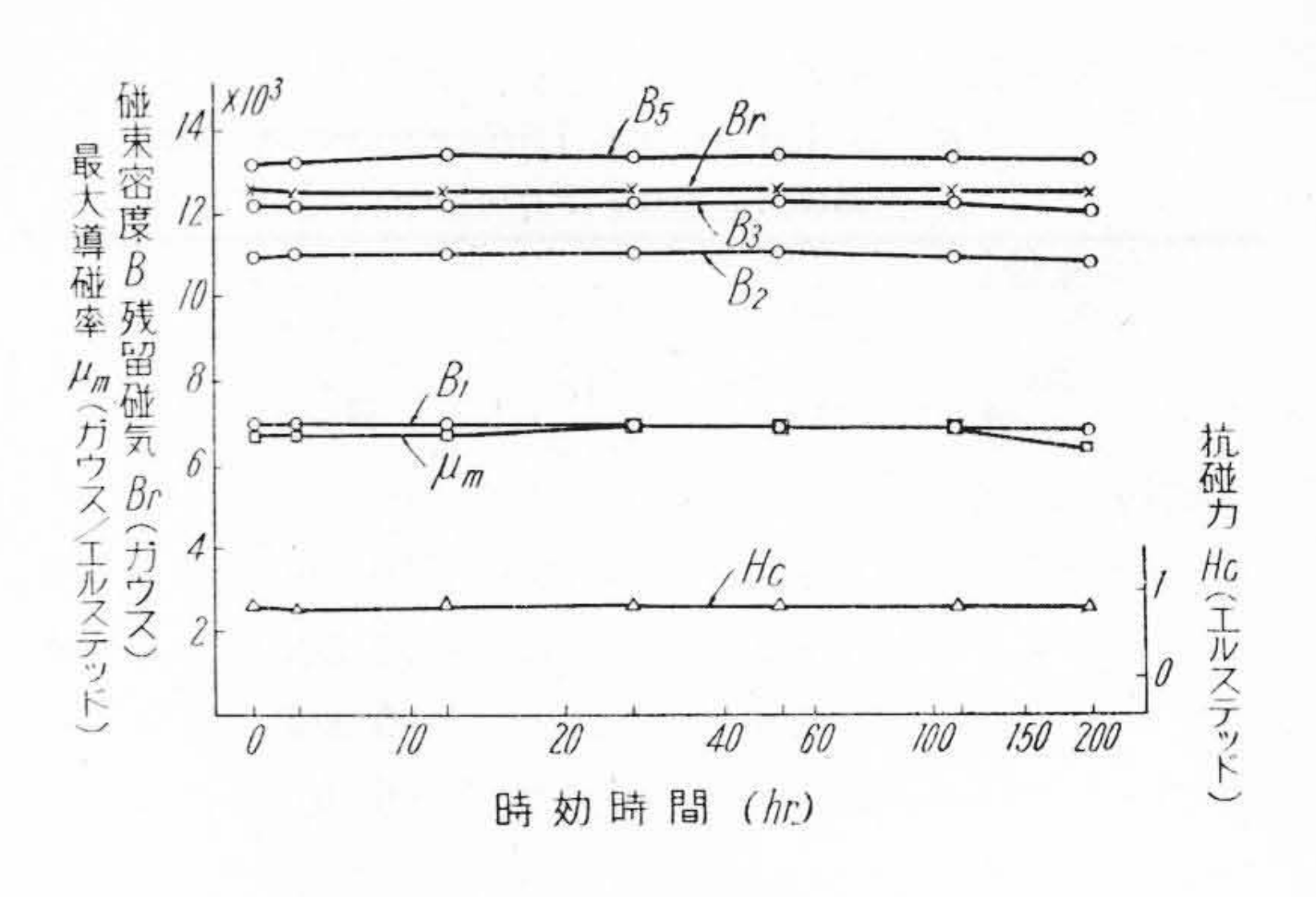
備考  $B_1$ ,  $B_2$  · · · · は夫々磁化力 1, 2 · · · · ェルステッドに於ける磁束密度

第 5 表 他 社 製 品 の 磁 性 Table 5. Magnetic of Some Products on the Market

試料	磁性	$egin{aligned} \mathbf{B_1} \ ( oldsymbol{ iny f} oldsymbol{ iny $	$egin{aligned} \mathbf{B_2} \ (ec{n}ec{p}arkappa) \end{aligned}$	$egin{aligned} \mathbf{B}_3\ (ec{n}arphi exttt{z}) \end{aligned}$	$B_{ar{\mathfrak{5}}}$ (ガウス)	Bv (ガウス)	Hc (エルステッド)	μ m (ガウス/エルステツド)
NK	社 A	3,400	8,200	10,300	12,200	8,000	0.97	4,300
NK	社 B	11,480	12,990	13,520	14,000	13,830	0.588	12,200
NK	社 C	3,600	9,000	11,100	12,900	9,500	0.95	4,700
T	社	3,100	9,200	11,200	12,700	10,400	1.0	4,400
$\mathbf{F}$	社 A	1,300	5,600	8,400	10,900	8,800	1.5	2,900
F	社 B	7,760	11,930	12,990	13,850	13,475	0.872	7,090
A	社	2,660	10,880	12,650	13,690	13,825	1.147	5,830
N	S 社	4,360	11,960	13, 100	14, 120	14,345	1.102	6,470



第20図 試 料 A-3 の 時 効 Fif. 20. Aging Effect of Test Piece A-3



第21図 試 料 A-4 の 時 効 Fig. 21. Aging Effect of Test Piece A-4

第6表 室温放置による時効 Table 6. Aging Effect of Cooling in Room Temperature

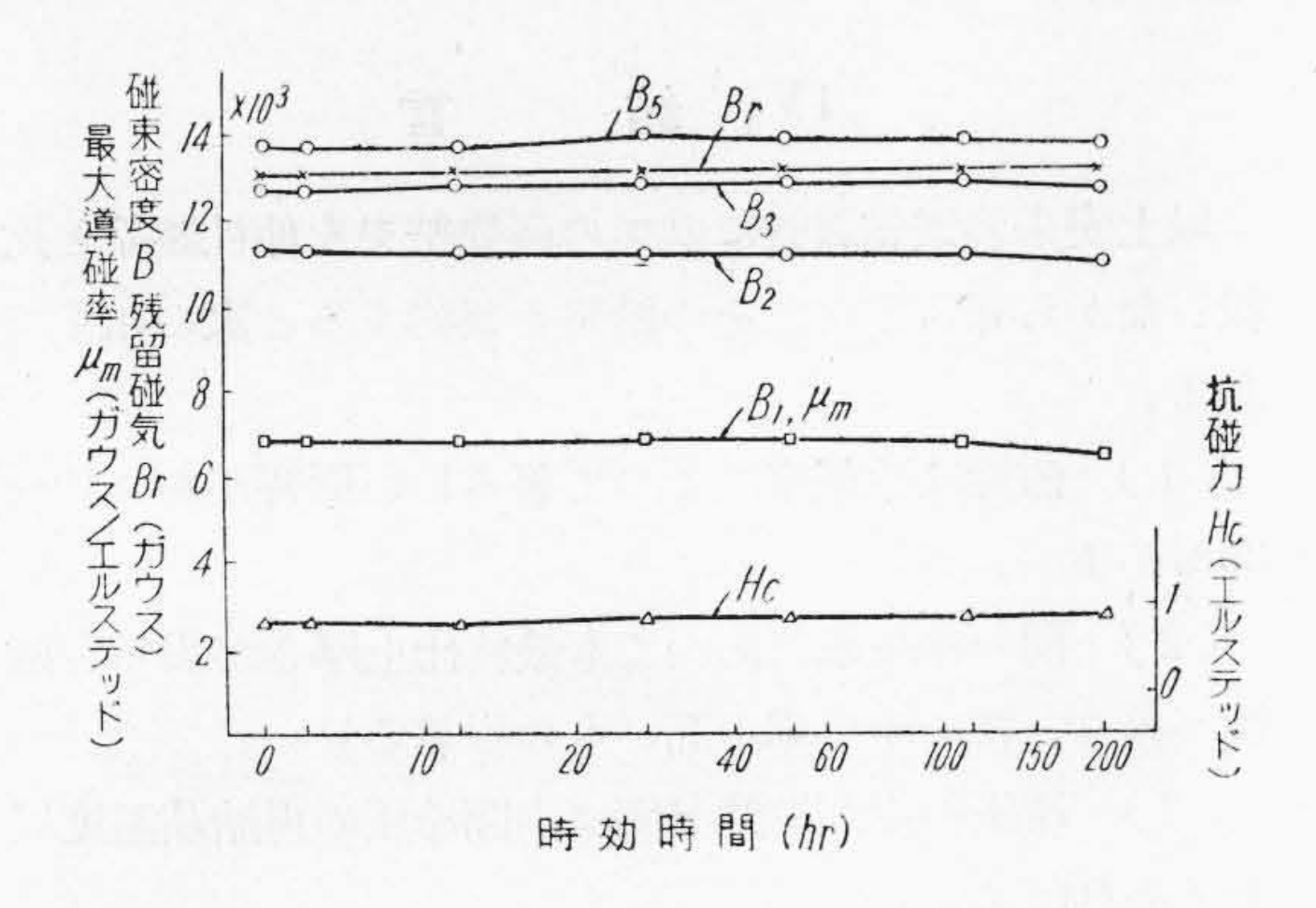
Secretary reserves		$\mathbb{B}_1$	$\mathrm{B}_2$	$B_3$	$\mathrm{B}_{5}$	Br	Нc	μ m	劣下	率 %
試 料		(ガウス)	(ガウス)	(ガウス)	(ガウス)	(ガウス)	(エルス) テッド)	(ガウス / エルス テッド)	$B_1$	Нс
Α	焼鈍のまゝ 7,000時間放置	6,730 6,430	11,050 10,900	12, 280 12, 165	13,410 13,615	12,700 10,750	0.86 0.85	6,730 6,430	4.5	-1.2
В	焼鈍のまり 7,000時間放置	6,455 6,420	10,815 10,650	12,290 11,970	13, 190 13, 11 <sub>0</sub>	12,490 12,370	0.84 0.83	6,450 6,430	0.5	-1.2
NK社A	焼鈍のまゝ 7,000時間放置	3,350 2,705	8,220 7,590	10,340 9,750	12, 200 12, 085	8,740 6,380	0.97 1.09	4,250 3,790	19.3	12.5
Α	焼鈍のまる 4,500時間放置	10,970 10,300	12,870 12,580	13, 450 13, 260	14, 040 13, 850	13, 685 13, 420	0.58 0.57	11,800 10,930	6.1	-1.7
В	焼 鈍 の ま \ 4,500時間放置	10 870 10,255	12,740 12,590	13, 400 13, 345	14, 040 14, 070	13,745 13,670	0.66 0.65	10,800 10,600	5.7	-1.5
В	焼鈍のまる 4,500時間放置	8,980 8,150	12,480 12,640	13, 450 13, 430	14, 210 13, 950	13, 795 13, 730	0.77 0.78	8, 360 8, 290	9.2	1.3
В	焼鈍のまゝ 4,500時間放置	9,780 9,210	11, 460 12, 285	12,070 11,950	12,770 12,700	12,470 13,170	0.63 0.62	10, 250 9, 880	6.9	-1.6
NK社B	焼鈍のまゝ 4,500時間放置	11,480 10,785	12, 990 12, 830	13, 520 13, 190	14,000 13,690	13, 830 14, 470	0.59 0.61	12, 200 11, 670	6.1	3.4
F 社 B	焼鈍のまゝ 4,500時間放置	7, 760 6, 440	11, 930 11, 690	12, 990 12, 515	13, 850 13, 680	13, 475 13, 330	0.81 0.86	7, 090 6, 520	17, 0	6.2
N S 社	焼鈍のまゝ 4,500時間放置	4, 360 3, 495	11, 960 11, 590	13, 100 12, 930	14, 120 13, 860	14, 345 14, 080	1.10 1.12	6, 470 5, 800	9.5	1.8
A 社	焼鈍のまゝ 4,500時間放置	2, 660 1, 670	10, 880 9, 330	12, 650 12, 080	13, 690 13, 305	13, 825 13, 480	1.15 1.37	5, 830 4, 785	37.2	19.1

にも拘わらず  $B_1$ は 85% Hcは 90%の劣下を示し最も悪い。NK社製も相当劣下するがF社製は稍少い。安来製品の劣下は  $B_1$  が  $2\sim15\%$  Hc が  $0\sim16\%$  でF社製に較べて僅かに劣るが他のものより優秀である。尙F社製の磁性は著るしく悪い。

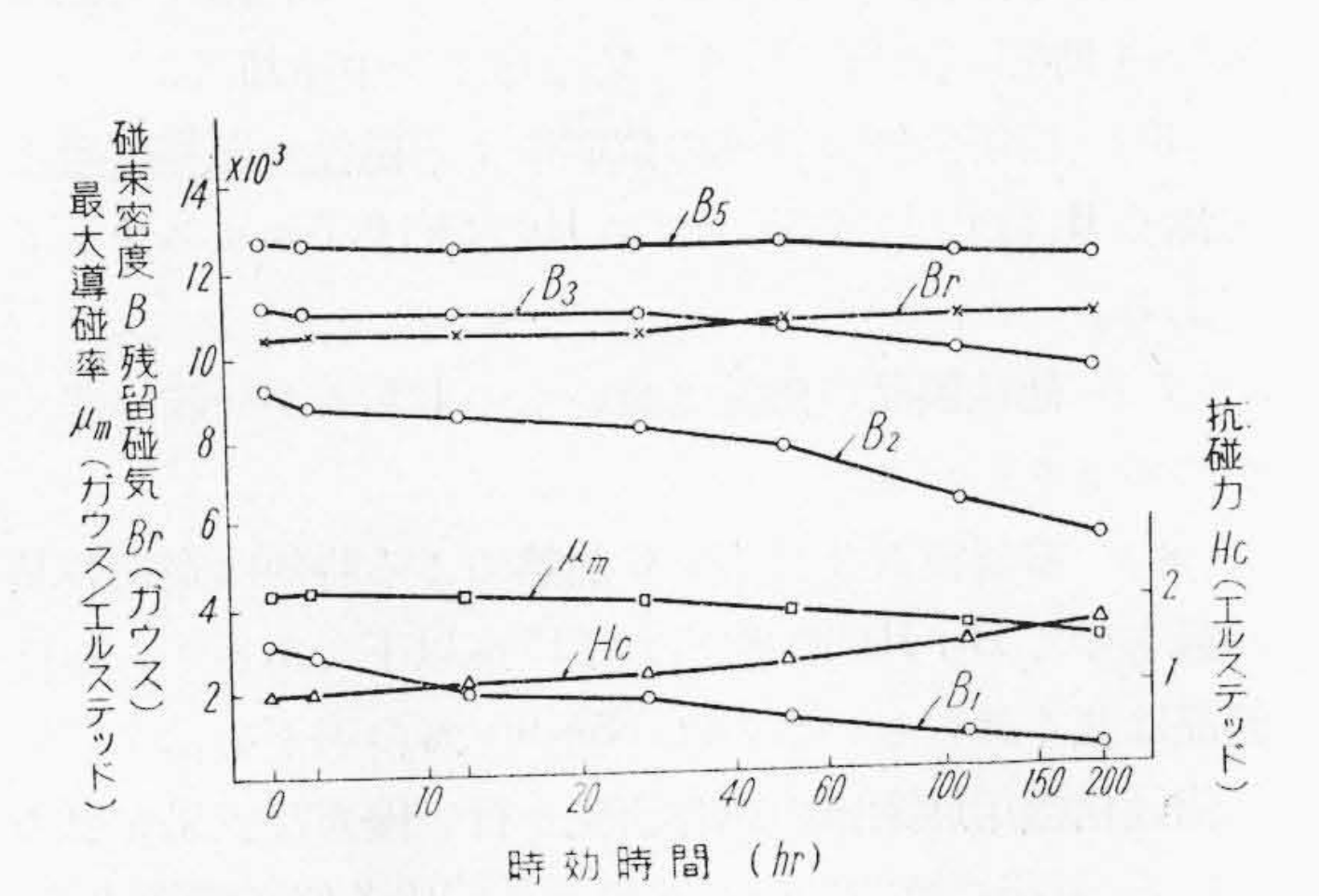
先に焼鈍後の冷却方法が磁性に殆ど影響のない事を確

めたが、更に時効に及ぼす影響を求めた。その結果の一例を第27図に、劣下率を第8表に示した。 $B_1$ の劣下は7.8~13.5% Hc の劣下は0.5~2%で炉中冷却のものと殆んど大差がない。

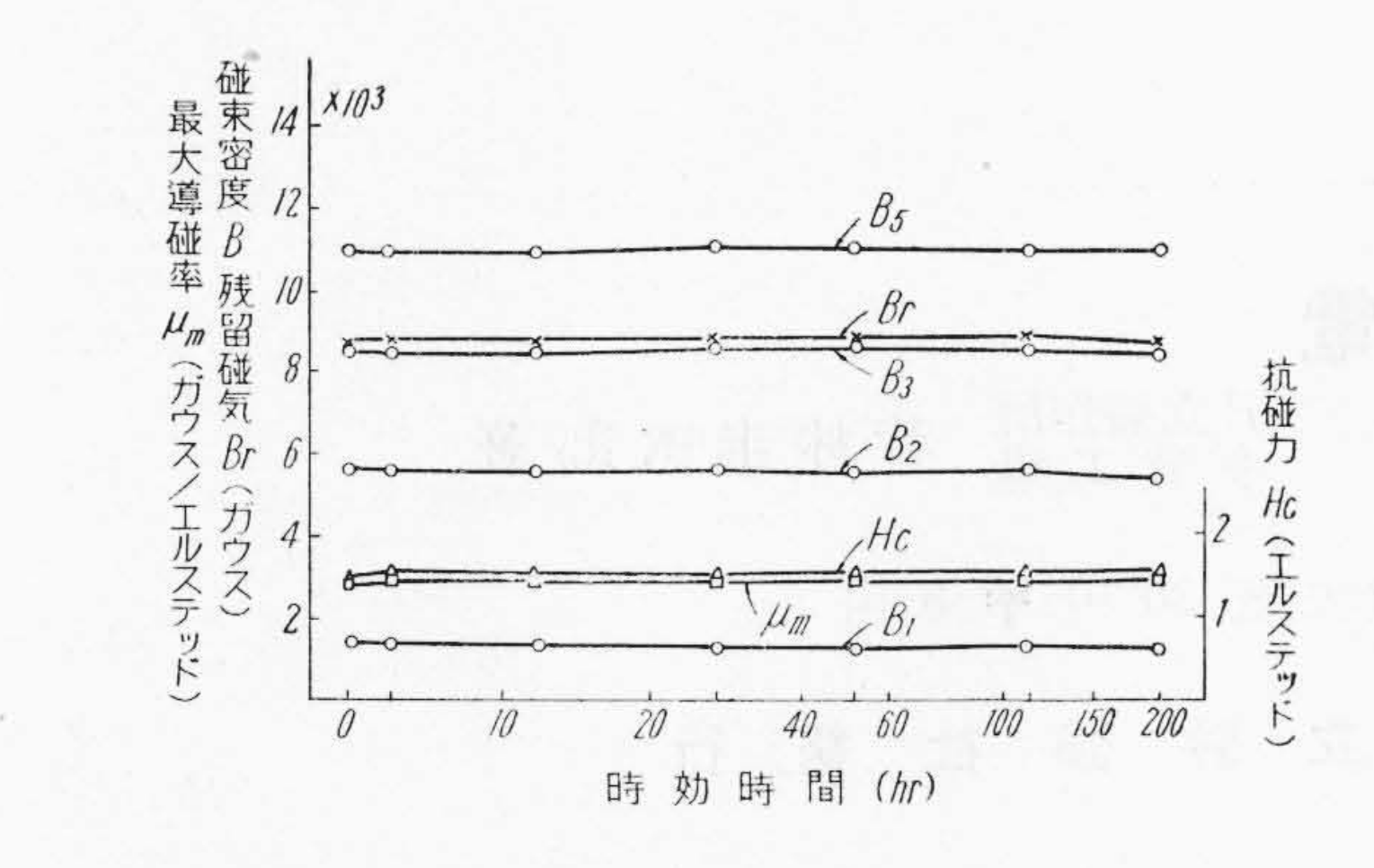
時効の原因は高温に於て固溶されたC, P,  $N_2$ , S等の不純物が通常の焼鈍によつては完全に析出されず低温に



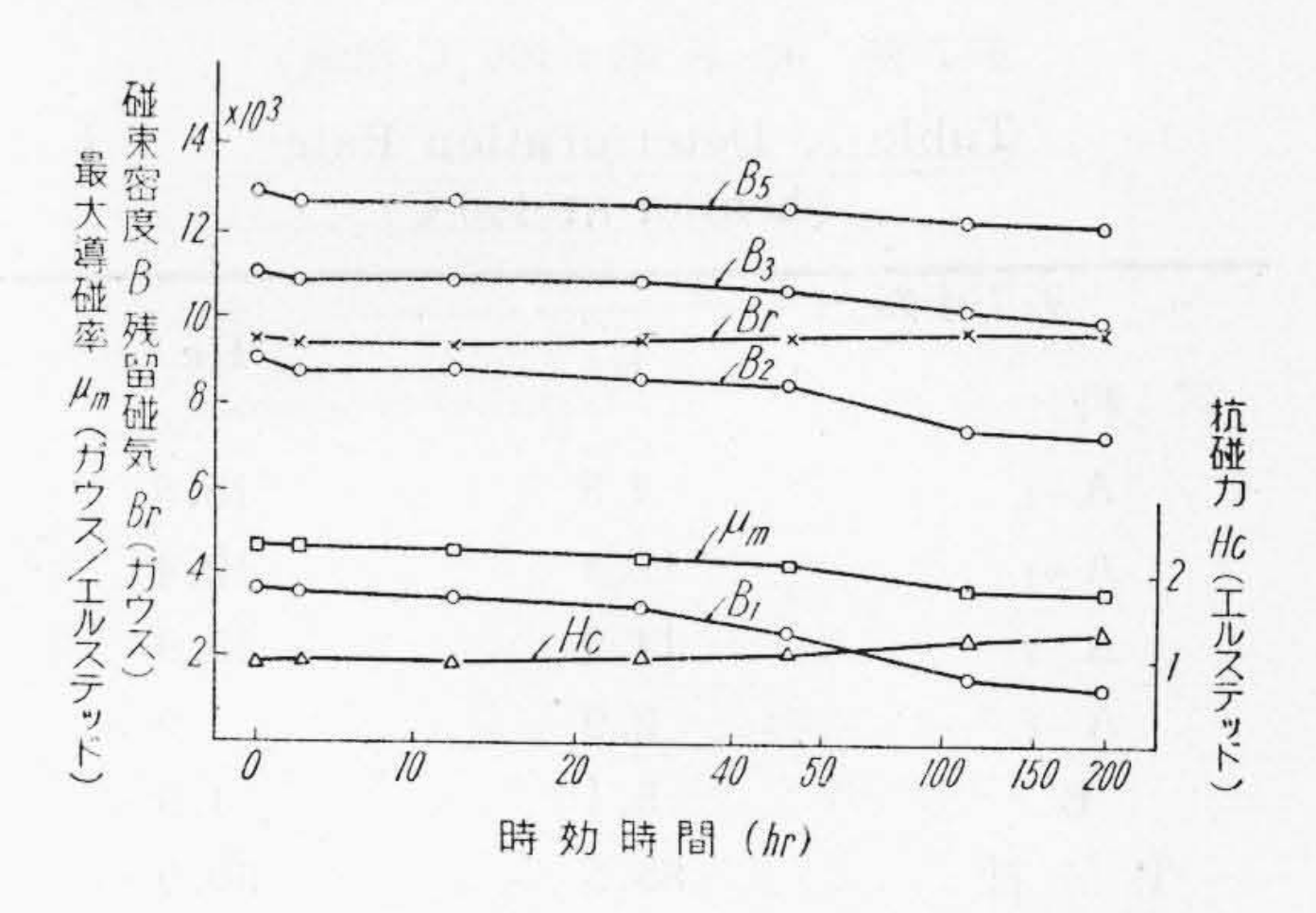
第 22 図 試 料 B の 時 効 Fig. 22. Aging Effect of Test Piece B



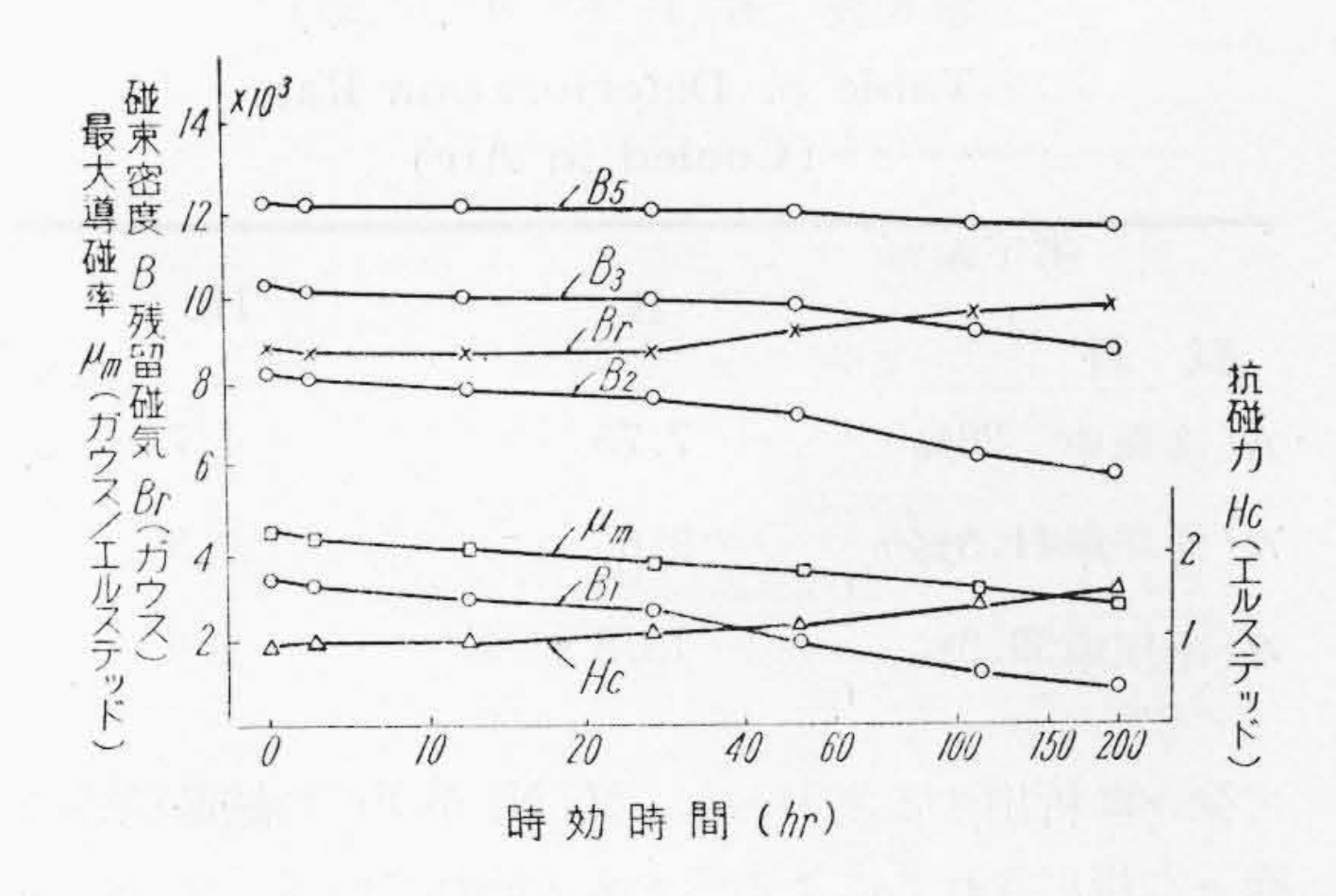
第 23 図 T' 社 製 品 の 時 効 Fig. 23. Aging Effect of T Brand Magnet



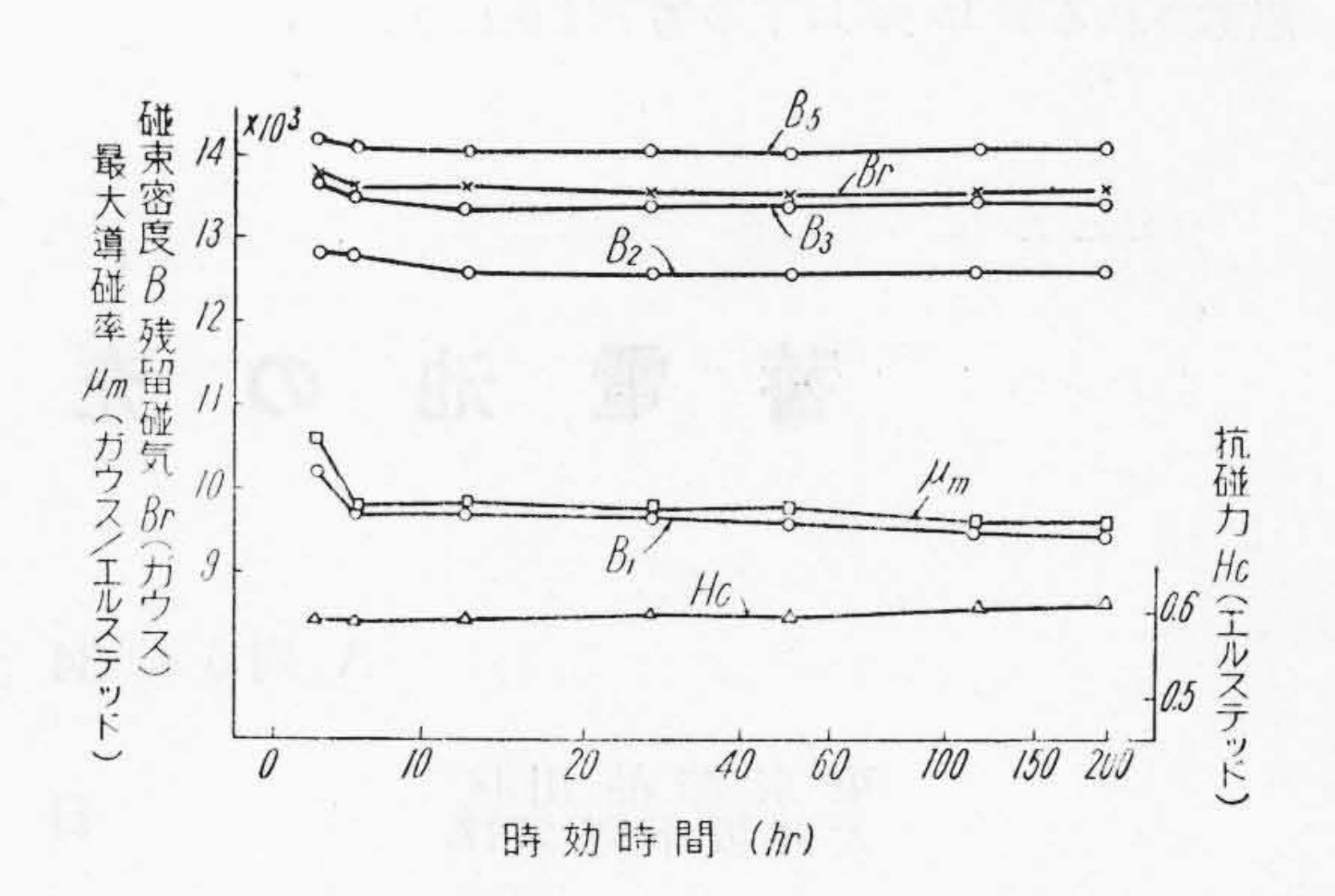
第24 図 F 社 A 製 品 の 時 効 Fig. 24. Aging Effect of F Brand Magnet (A)



第 25 図 NK社A製品の時効 Fig. 25. Aging Effect of NK Brand magnet (A)



第 26 図 NK社 B製品の時効 Fig. 26. Aging Effect of NK Brand Magnet (B)



第 27 図 空中冷却の時効に及ぼす影響 Fig. 27. Effect of Air Cooling or Aging Effect

第7表 劣下率 (100°C 加熱) Table 7. Deterioration Rate (heated at 100°C)

劣下率% 試 料	B <sub>1</sub>	Нс
$A_{-1}$	4.3	15.8
$A_{-2}$	12.4	12.4
A -3	14.9	13.9
A-4	2.9	0
В	5.1	4.9
T 社	85.5	90.0
F 社 A	15.4	0
NK社A	76.5	53.7
NK社C	63.9	42.1

第8表 劣下率(空中冷却)
Table 8. Deterioration Rate
(Cooled in Air)

$B_1$	Нс
7.75	1.7
9.6	0.5
13.5	2.0
	7.75 9.6

て徐々に析出する為 $^{(1)}$ とも、又  $N_2$  が Fe の結晶粒外に徐々に析出されるによる $^{(2)}$ とも云われている。又 S が FeS として存在し約 130 °C に於て起す変態の為 $^{(8)}$ とも云われる。何れが主原因かは、なお不明であるが不純物特に  $N_2$  による事は推察出来る。砂鉄系材料は不純物特に  $N_2$  が少い。それにより安来製品の時効が少いものと思考されるが 15 % 以下の劣下は免れない。

### [IV] 結 言

以上安来製電磁軟鉄に就ての研究結果を他社製品と比較しながら報告した。その結果を要約すると次の如くである。

- (1) 磁性は冷圧率によつて著るしい影響があり10~ 20%がよい。
- (2) 同一冷圧率であつても最終仕上厚さが異ると磁性が異り、特に冷圧率の高いもの程著るしい。
- (3) 冷圧の中間焼鈍温度は中間冷圧の再結晶温度以上であればよい。
- (4) 同一素材の場合には磁性の良好なもの程結晶粒が粗大であるが、素材が異れば結晶粒の大小を以て直ちに磁性の良否は判定出来ない。
- (5) 冷圧後の焼鈍温度は 800~850°C、保持時間は 3.5~4 時間が適当である。又冷却は空中冷却でよい。
- (6) 熔解別或は鋼塊の位置による磁性の差異は殆んど無く $B_1$ は約10,000 ガウスHcは約0.7エルステッドである。
- (7) 他社製品の磁性は良いものもあるが一般に悪くかつバラッキが多い。
- (8) 室温放置及び 100°C 加熱による時効は安来製品が最も少く B<sub>1</sub>, Hc の劣下は約 15%以下であるが、他社製品は悪く甚だしいものは 85~90 %の劣下を示す。

尙通信機用珪素鋼の試作研究を行い優秀な成果を収めている。最後に協力頂いた牧野氏外関係各位に深謝する。

#### 参考文献

- (1) F. Bitter: Introduction to Ferromagnetism. (1937)
- (2) W. Köster: Arch. Eisenhütt. III, 637 (1930)
- (3) 清水: 日本金属学会誌 5, 183 (昭16—)

# 蓄電池の充電

日立製作所 若林圭次郎著

A 列 5 判 34 頁 定価 30 円 〒 8 円

東京都品川区大井坂下町2717

日 立 評 論 社 発 行